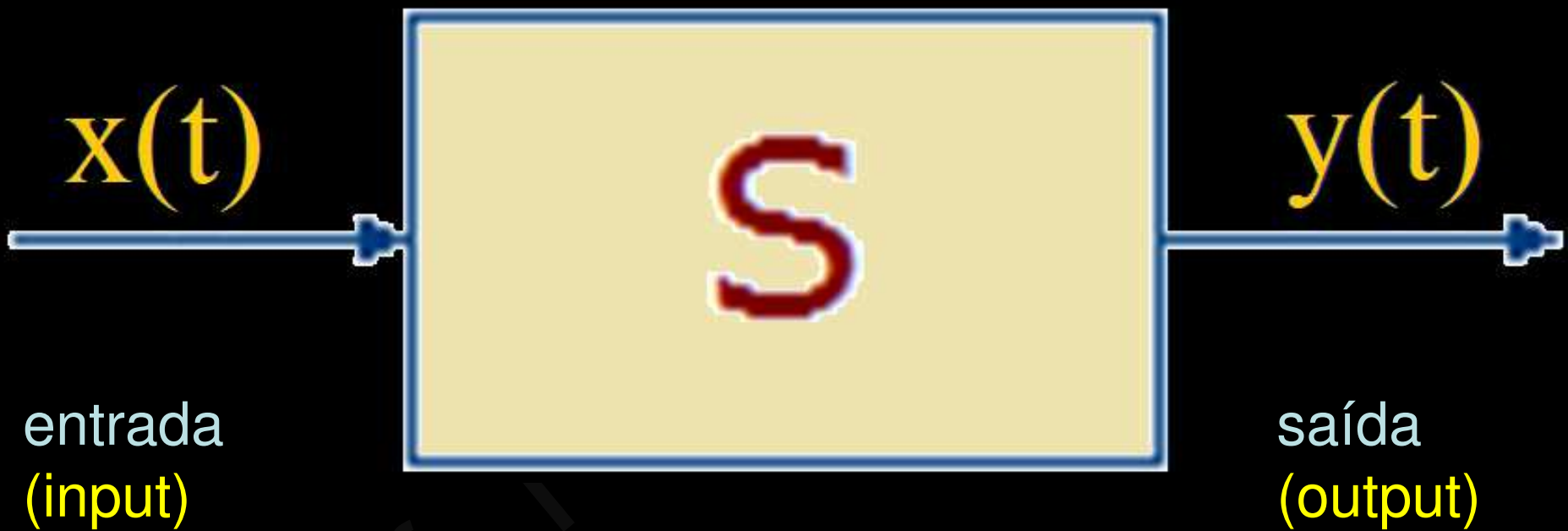


Controlo de Sistemas

3

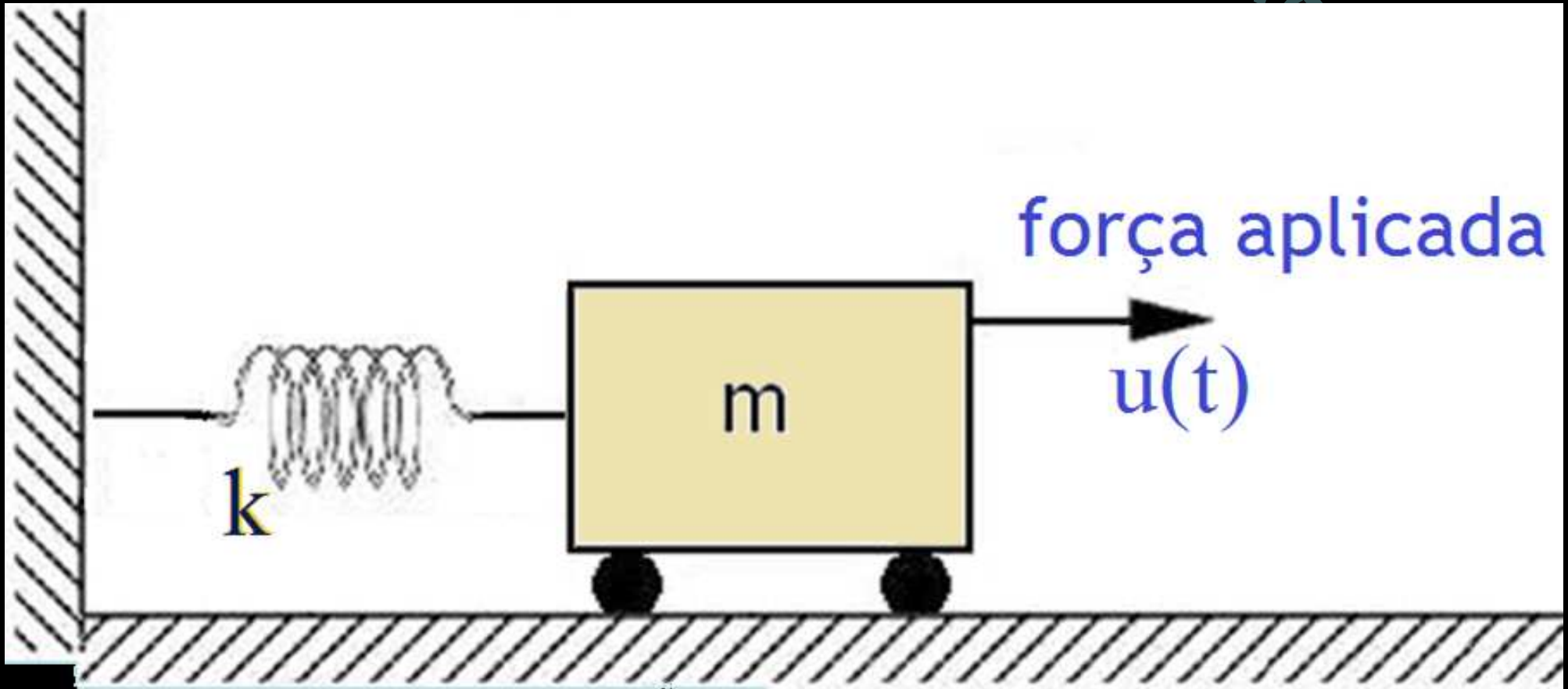
“Modelização de Sistemas”
(Systems modelling)

J. A. M. Felippe de Souza



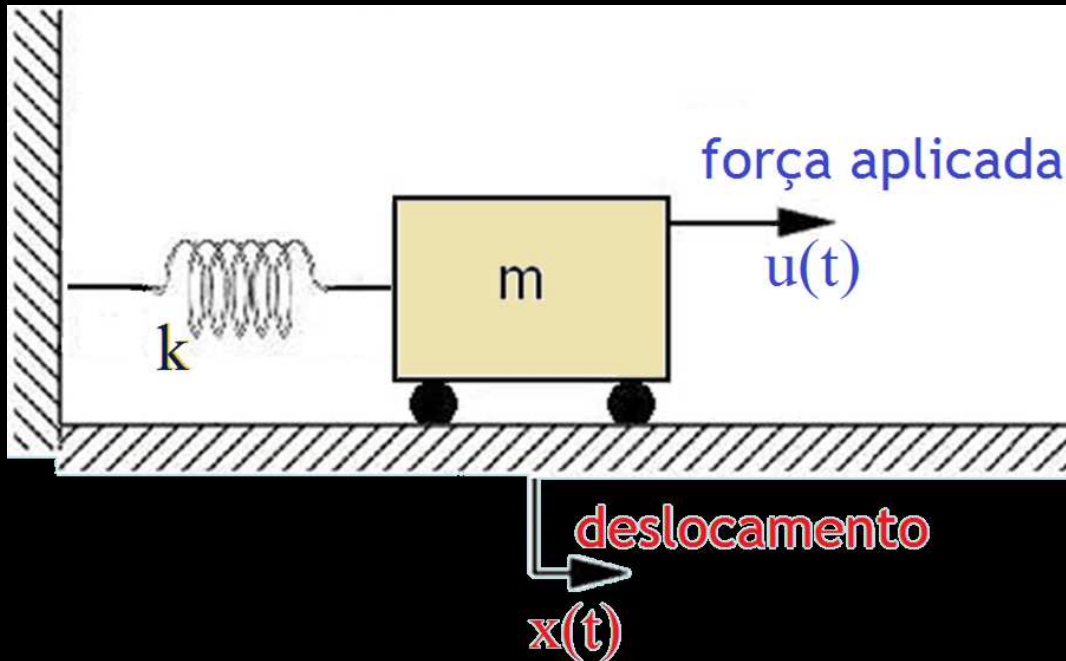
carro / massa / mola

carro / massa / mola

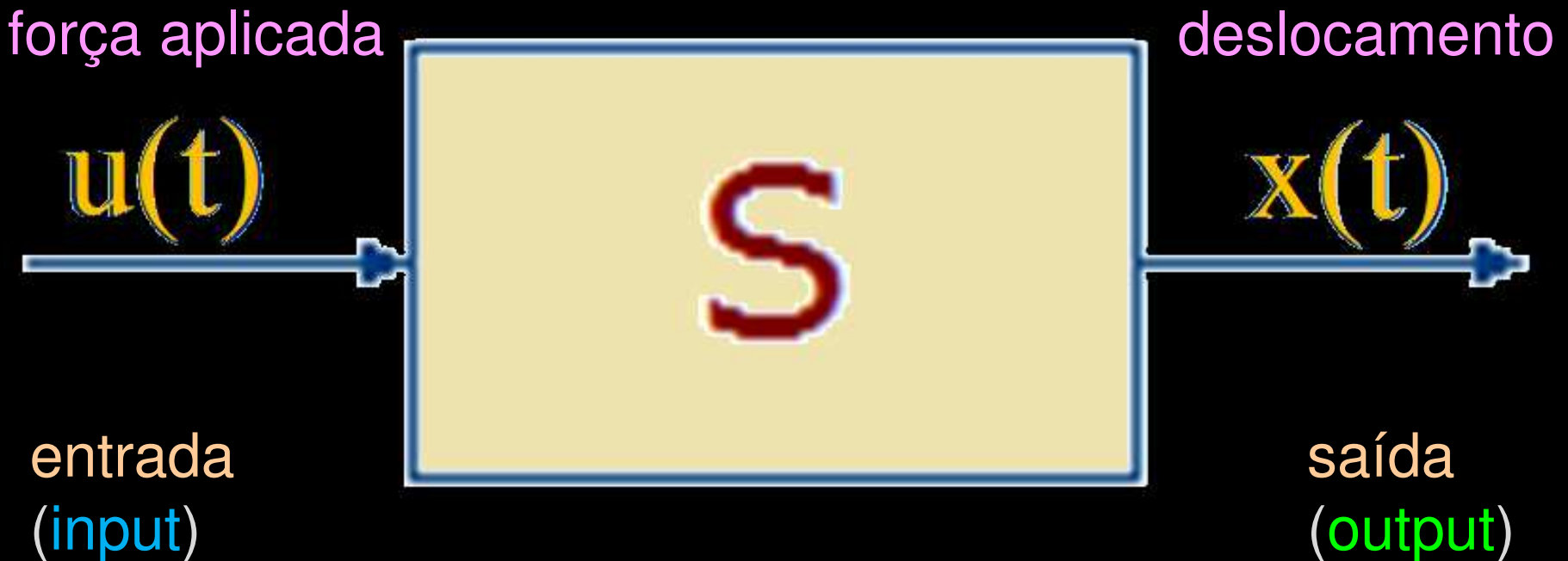


deslocamento
 $x(t)$

Modelização de Sistemas

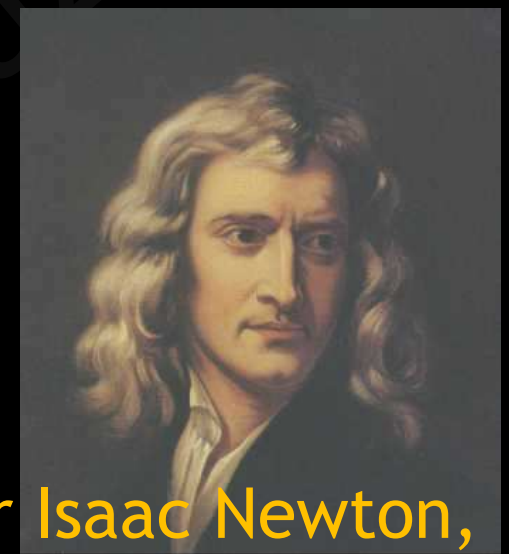
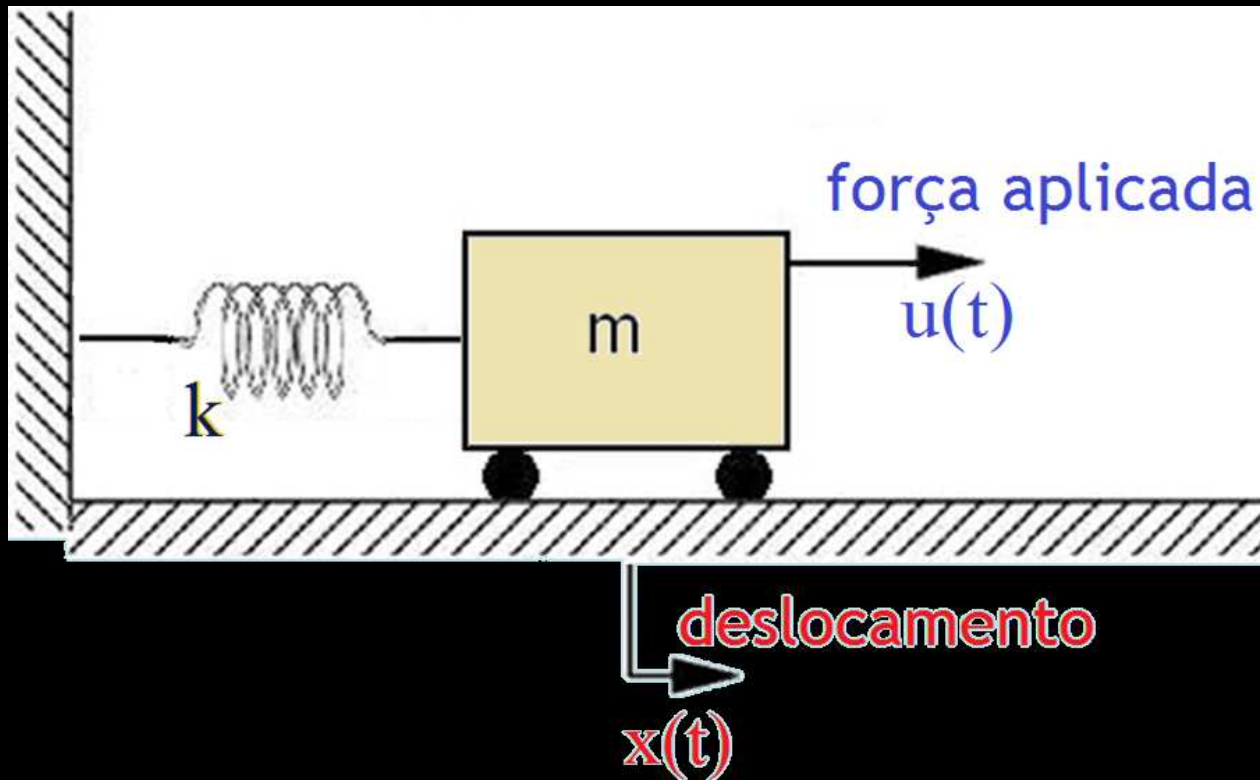


carro / massa / mola



2^a Lei de Newton

$$\sum F = m \cdot a$$



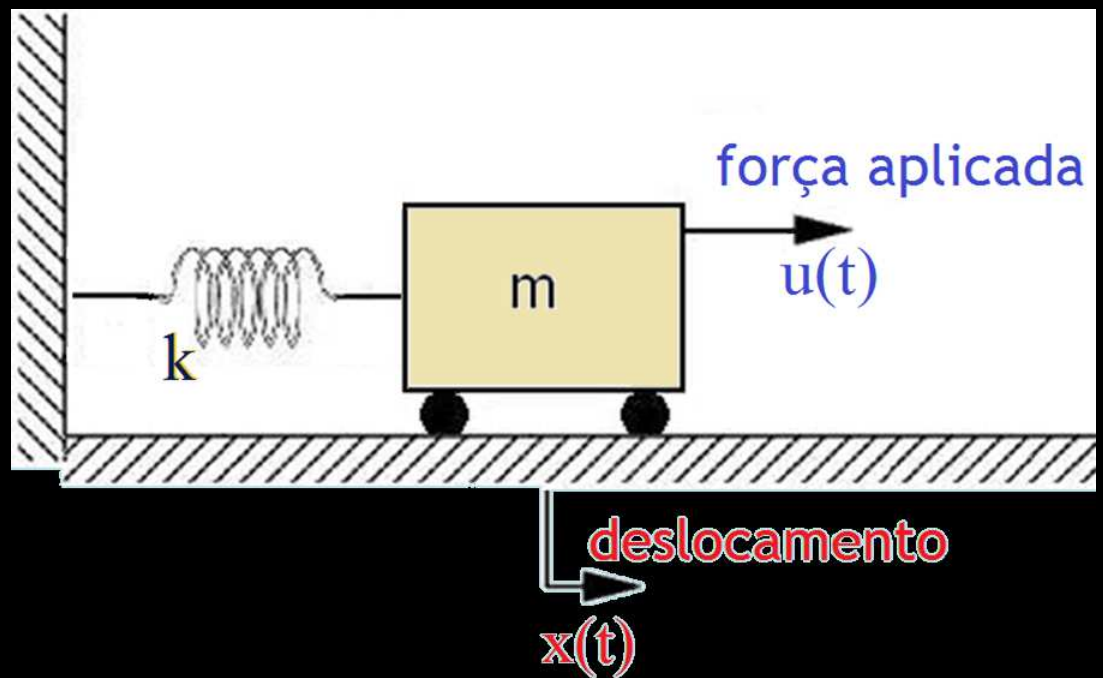
Sir Isaac Newton,
1643-1727

logo

$$mx'' = -kx - \mu x' + u,$$

Modelização de Sistemas

carro / massa / mola



e portanto,

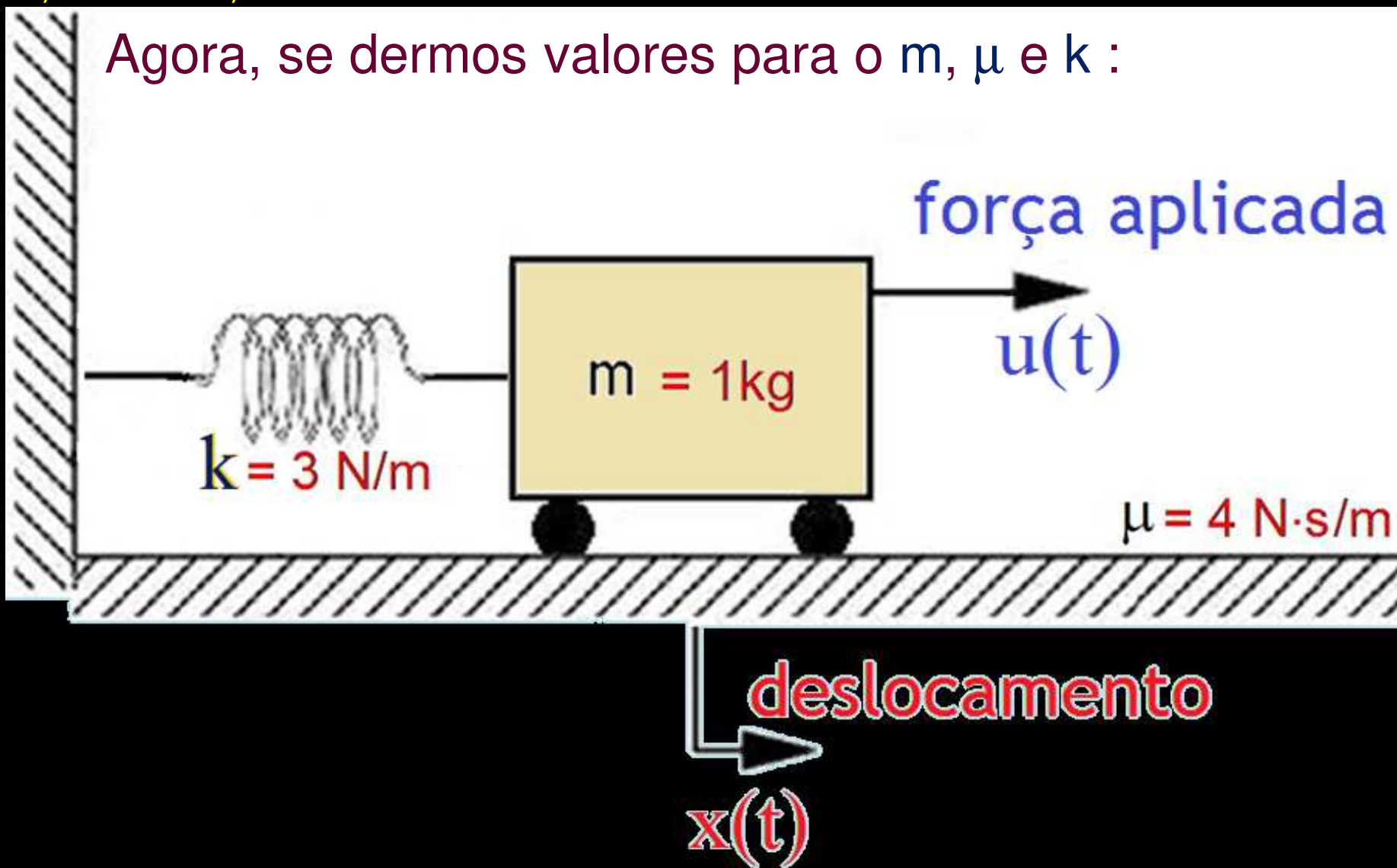
$$mx'' + \mu x' + kx = u,$$

ou

$$m \frac{d^2x}{dt^2} + \mu \frac{dx}{dt} + kx = u,$$

carro / massa / mola

Agora, se dermos valores para o m , μ e k :



$$m = 1 \text{ kg}$$

$$\mu = 4 \text{ N}\cdot\text{s}/\text{m}$$

$$k = 3 \text{ N/m}$$

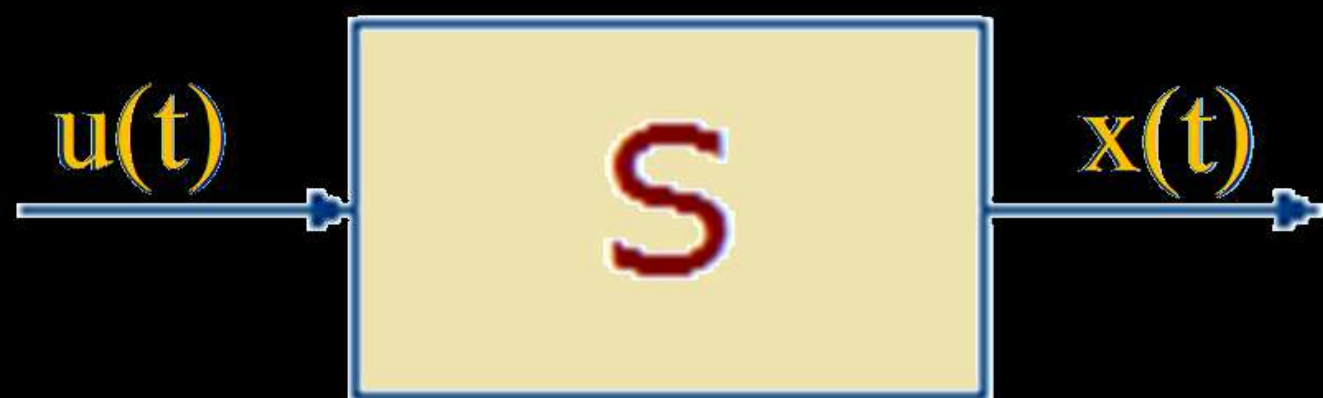
carro / massa / mola

$$m = 1 \text{ kg}$$

$$\mu = 4 \text{ N}\cdot\text{s/m}$$

$$k = 3 \text{ N/m}$$

$$\begin{cases} m \frac{d^2x}{dt^2} + \mu \frac{dx}{dt} + k x = mx'' + \mu x' + kx = u, \\ x'(0) = a, \quad x(0) = b \end{cases}$$



carro / massa / mola

$$m = 1 \text{ kg}$$

$$\mu = 4 \text{ N}\cdot\text{s/m}$$

$$k = 3 \text{ N/m}$$

e o modelo torna-se em:

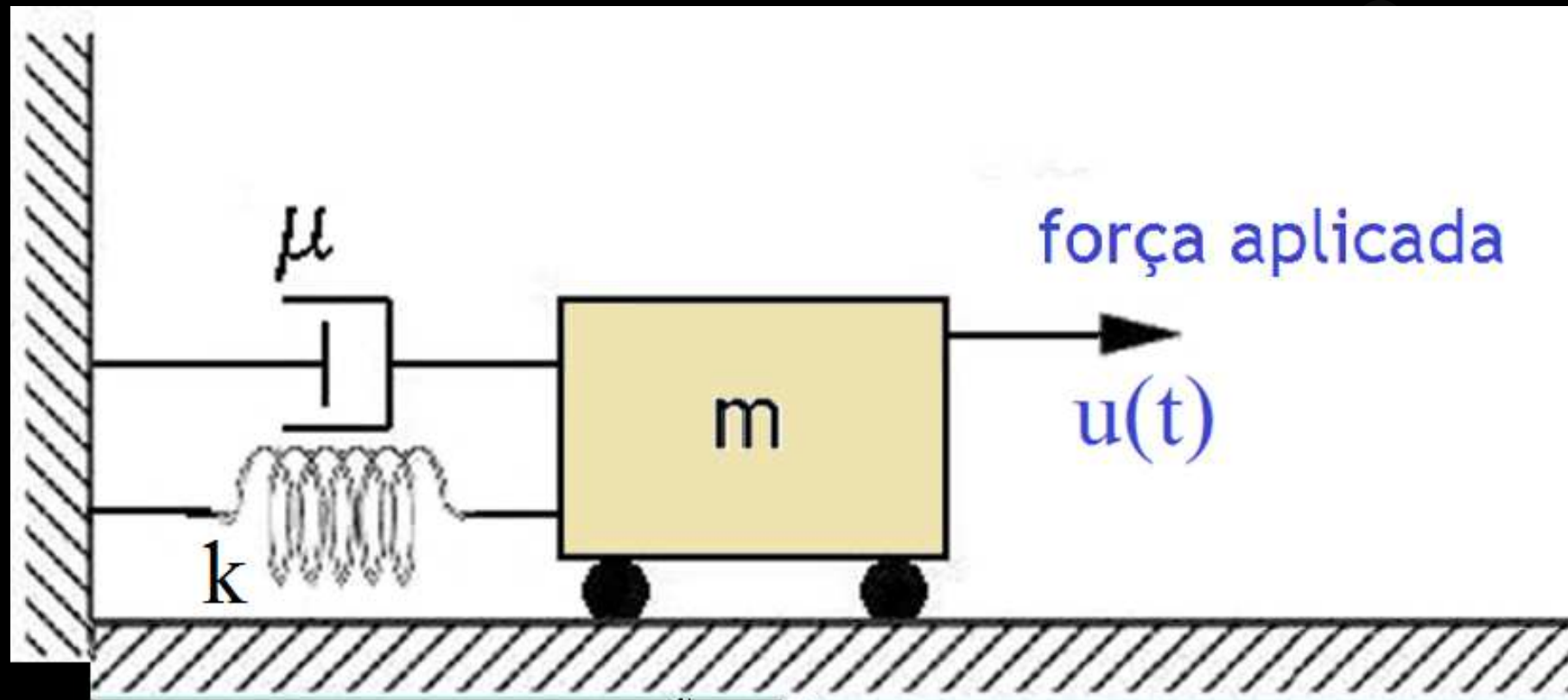
$$\begin{cases} \frac{d^2x}{dt^2} + 4 \frac{dx}{dt} + 3x = x'' + 4x' + 3x = u, \\ x'(0) = a, \quad x(0) = b \end{cases}$$



movimento translacional mecânico

Prof. Felipe de Souza

movimento translacional mecânico



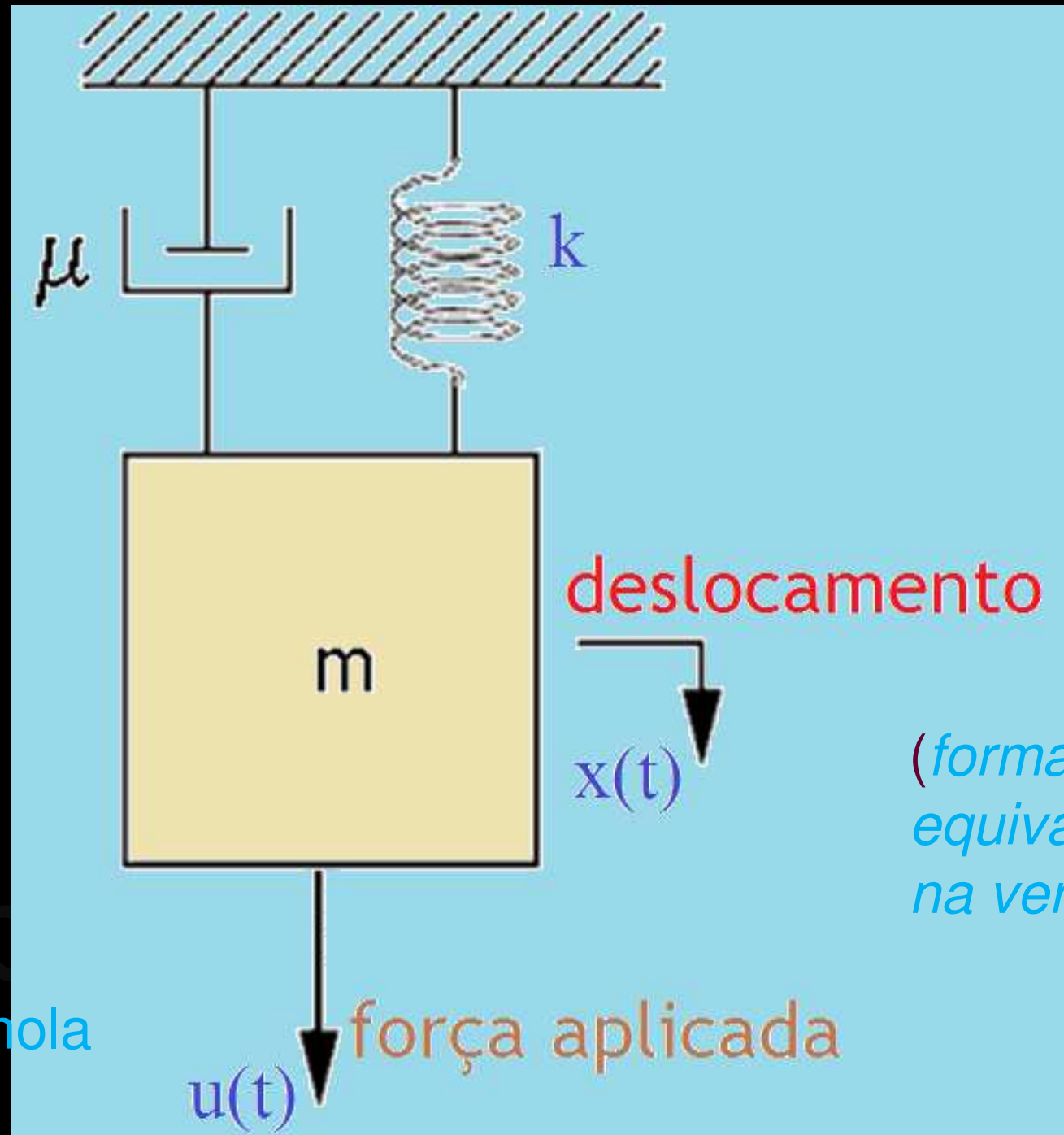
deslocamento
 $x(t)$

problema similar
ao anterior
carro / massa / mola

Modelização de Sistemas

movimento
translacional
mecânico

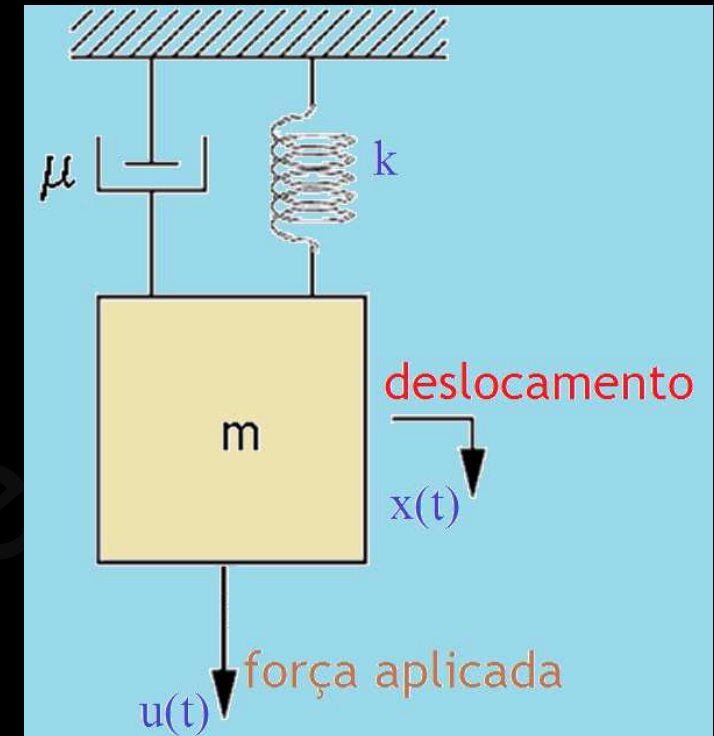
problema similar
ao anterior
carro / massa / mola



(forma
equivalente
na vertical)

Modelização de Sistemas

movimento
translacional
mecânico



força aplicada

$u(t)$

entrada
(input)

deslocamento

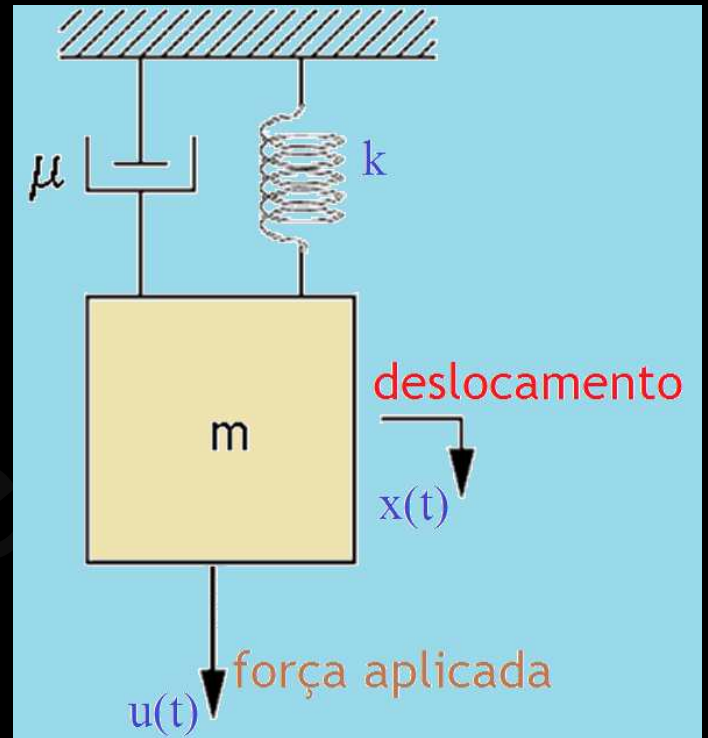
$x(t)$

saída
(output)



movimento
translacional
mecânico

Novamente, usando a 2^a Lei de Newton,
obtém-se:



$$mx'' + \mu x' + kx = u,$$

ou

$$m \frac{d^2x}{dt^2} + \mu \frac{dx}{dt} + kx = u,$$

carro / massa / mola ou movimento translacional mecânico

Portanto, estes 2 sistemas são descritos pela mesma **equação diferencial** (de 2^a ordem), ou seja, têm o mesmo modelo:

$$m \frac{d^2x}{dt^2} + \mu \frac{dx}{dt} + k x =$$
$$= mx'' + \mu x' + kx = u$$

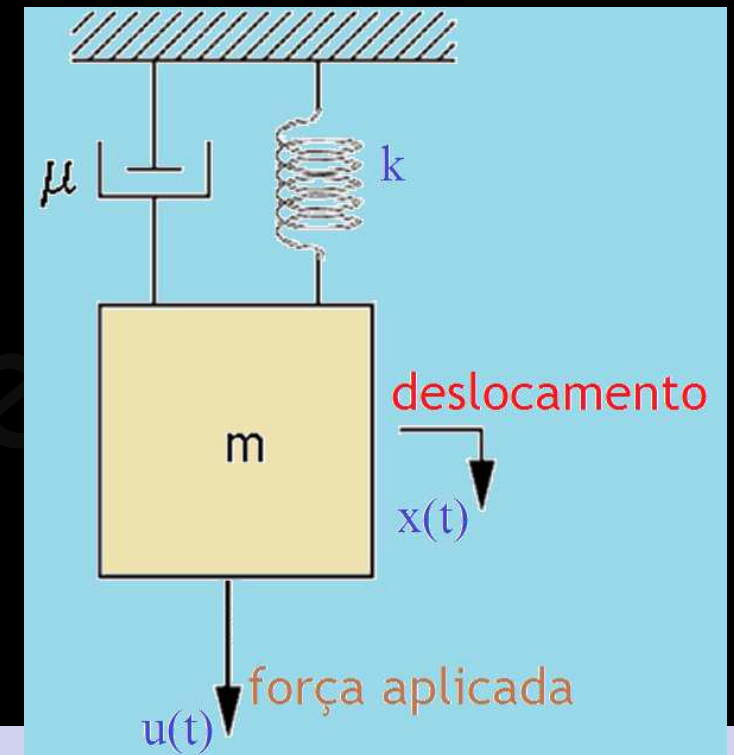
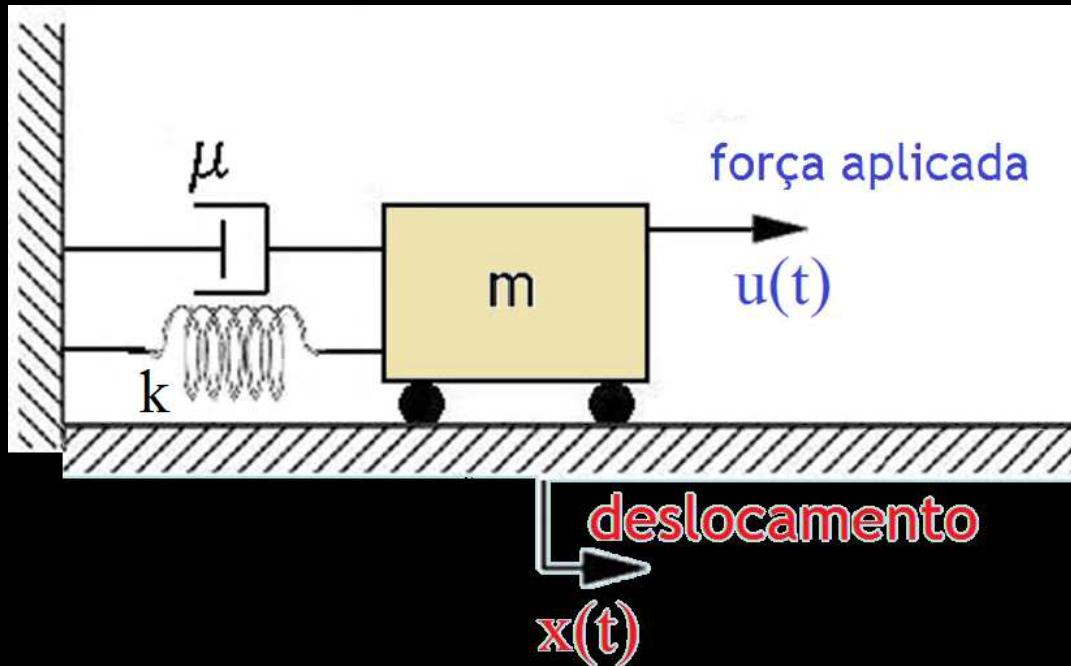
condições iniciais:

$$x'(0) = a, \quad x(0) = b$$

Modelização de Sistemas

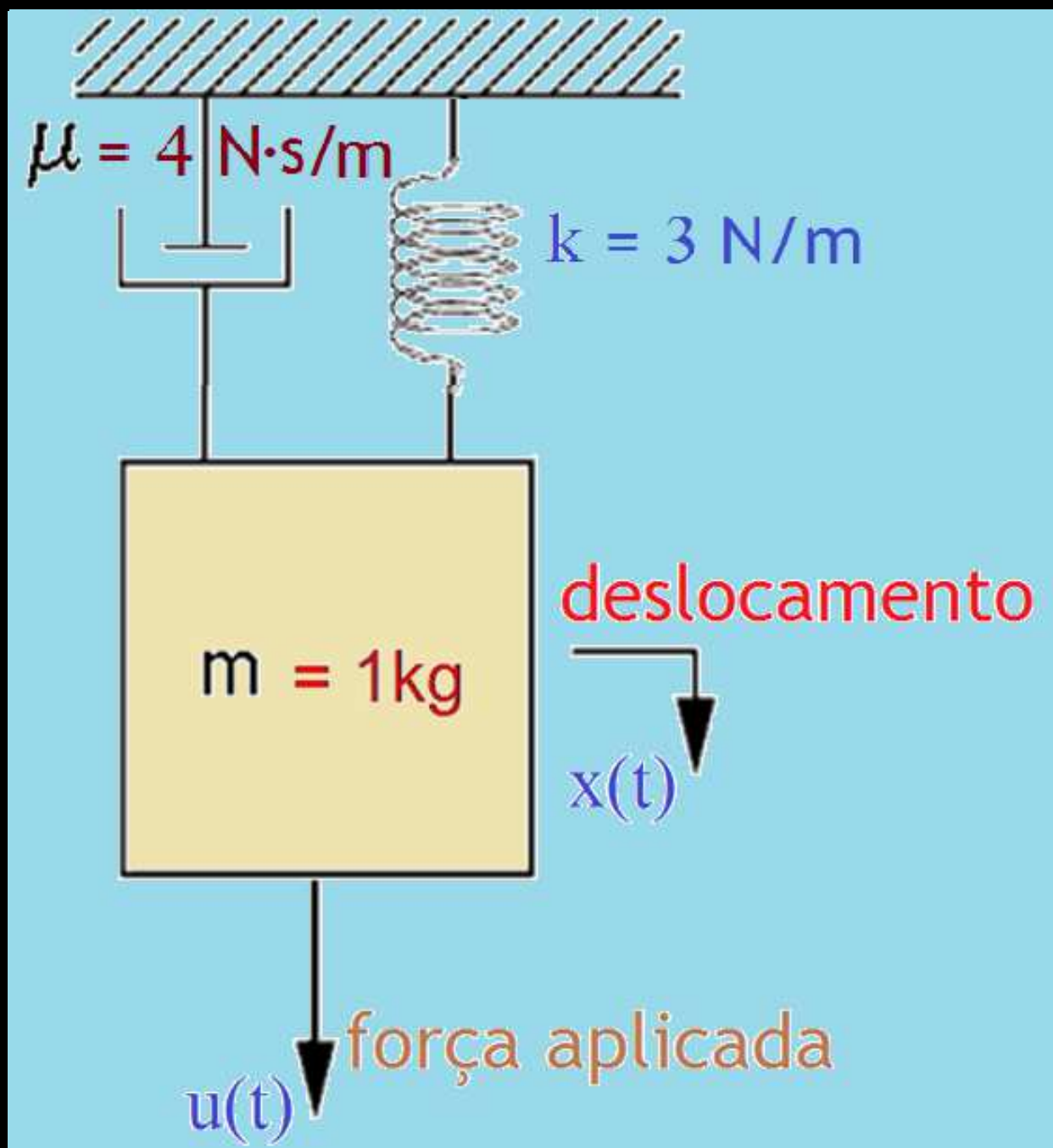
carro / massa / mola

ou movimento translacional mecânico



$$\left\{ \begin{array}{l} m \frac{d^2x}{dt^2} + \mu \frac{dx}{dt} + k x = mx'' + \mu x' + kx = u, \\ x'(0) = a, \quad x(0) = b \end{array} \right.$$

movimento translacional mecânico



Agora, dando os mesmos valores para o m , μ e k que foram dados para o problema carro / massa / mola, temos:

$$m = 1 \text{ kg}$$

$$\mu = 4 \text{ N}\cdot\text{s}/\text{m}$$

$$k = 3 \text{ N/m}$$

Modelização de Sistemas

carro / massa / mola

ou movimento translacional mecânico

$$m = 1 \text{ kg}$$

$$\mu = 4 \text{ N}\cdot\text{s/m}$$

$$k = 3 \text{ N/m}$$

$$\left\{ \begin{array}{l} m \frac{d^2x}{dt^2} + \mu \frac{dx}{dt} + k x = mx'' + \mu x' + kx = u, \\ \\ x'(0) = a, \quad x(0) = b \end{array} \right.$$



Modelização de Sistemas

carro / massa / mola

ou movimento translacional mecânico

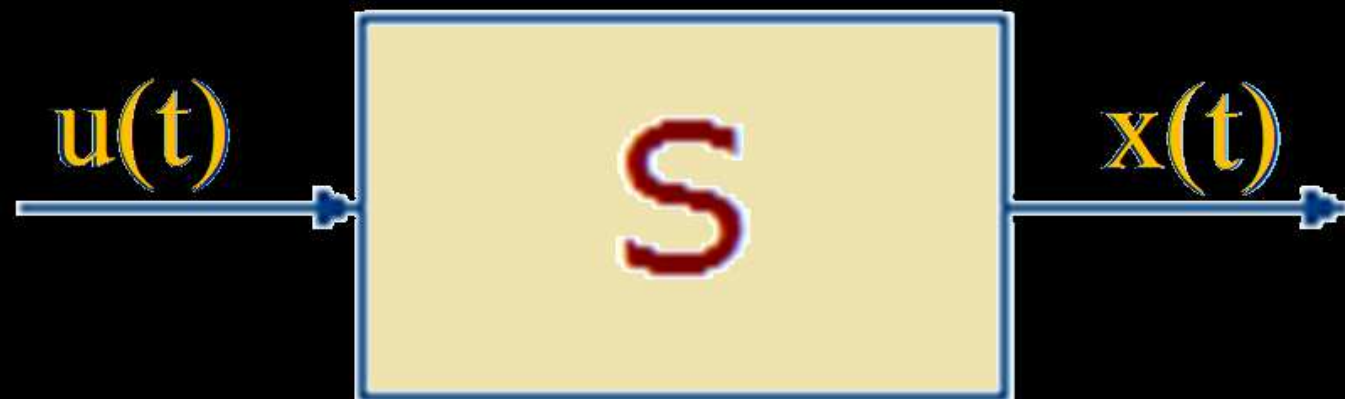
$$m = 1 \text{ kg}$$

$$\mu = 4 \text{ N}\cdot\text{s/m}$$

$$k = 3 \text{ N/m}$$

(ambos possuem o mesmo modelo)

$$\left\{ \begin{array}{l} \frac{d^2x}{dt^2} + 4 \frac{dx}{dt} + 3x = x'' + 4x' + 3x = u, \\ \\ x'(0) = a, \quad x(0) = b \end{array} \right.$$

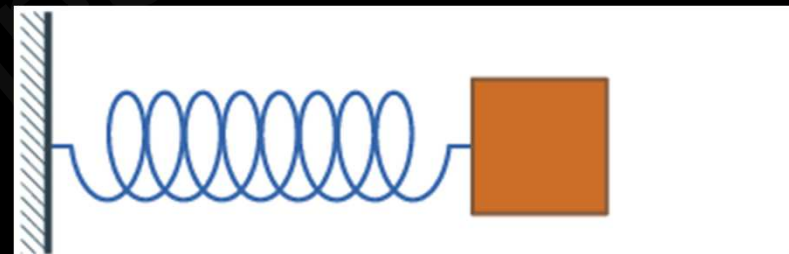
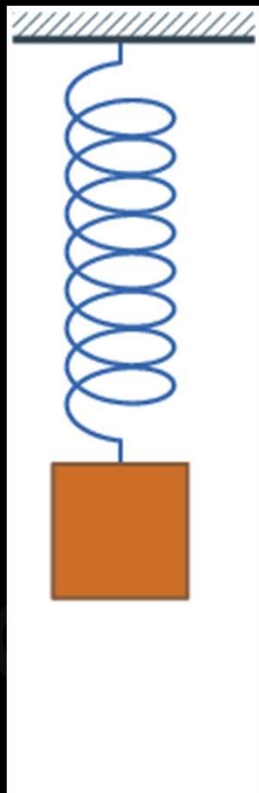


movimento translacional mecânico

Observação:

Note que se $\mu = 0$

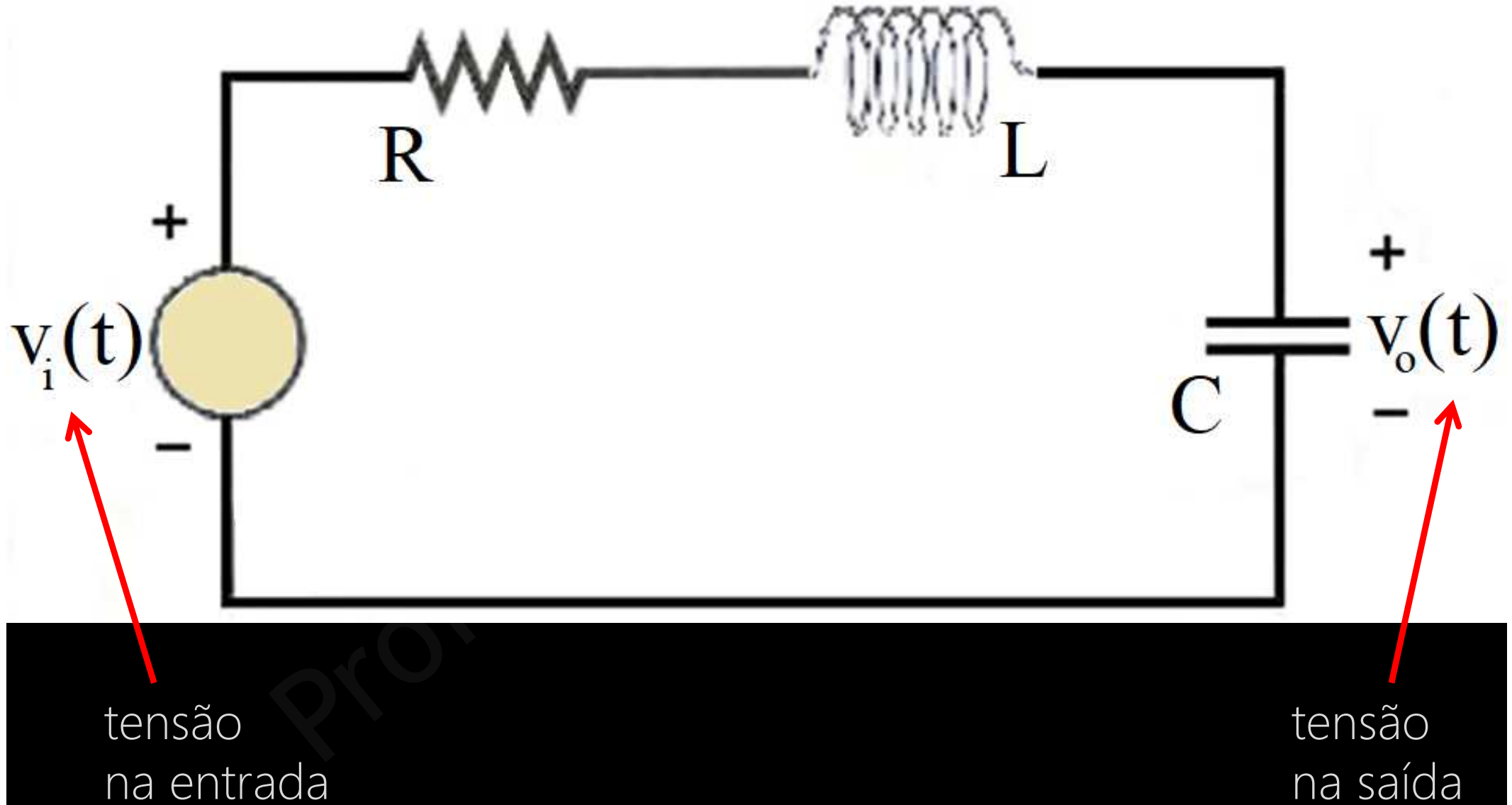
Este sistema torna-se o “*oscilador harmônico*”.



circuito RLC série

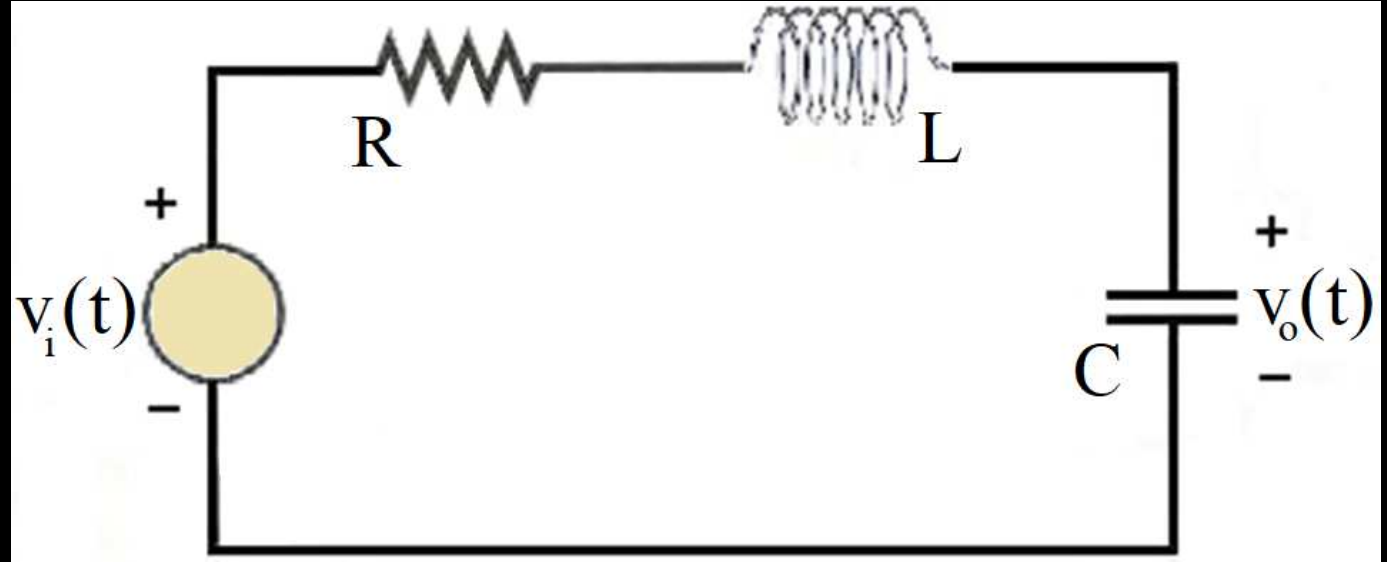
Prof. Felipe de Souza

círculo RLC série

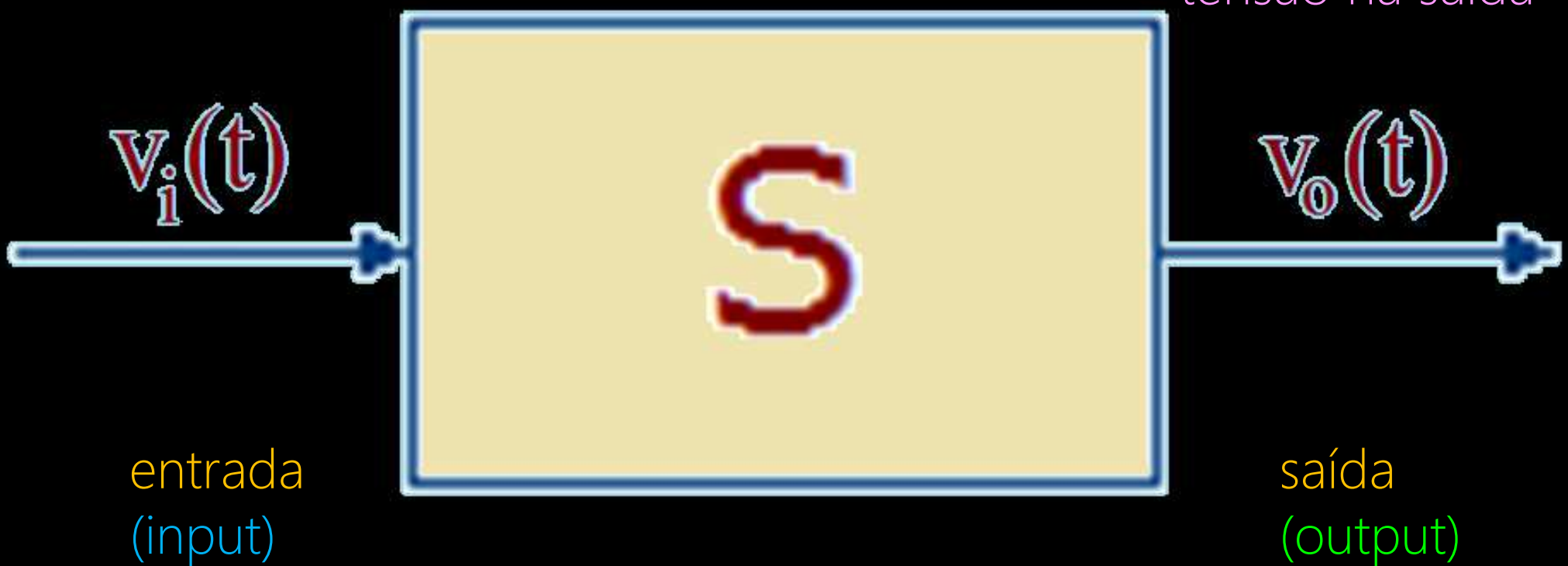


Modelização de Sistemas

circuito RLC série

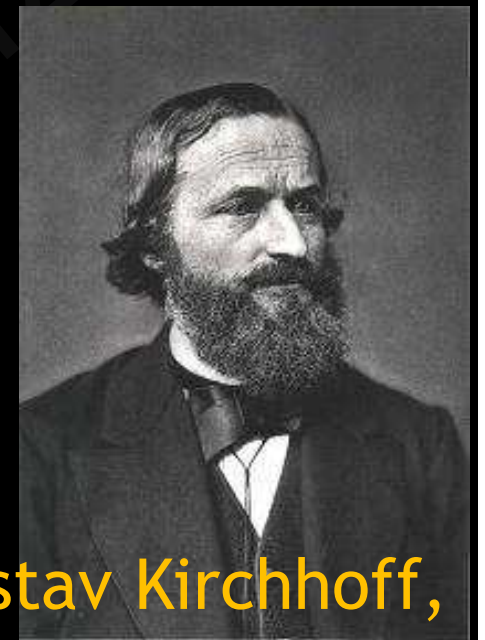
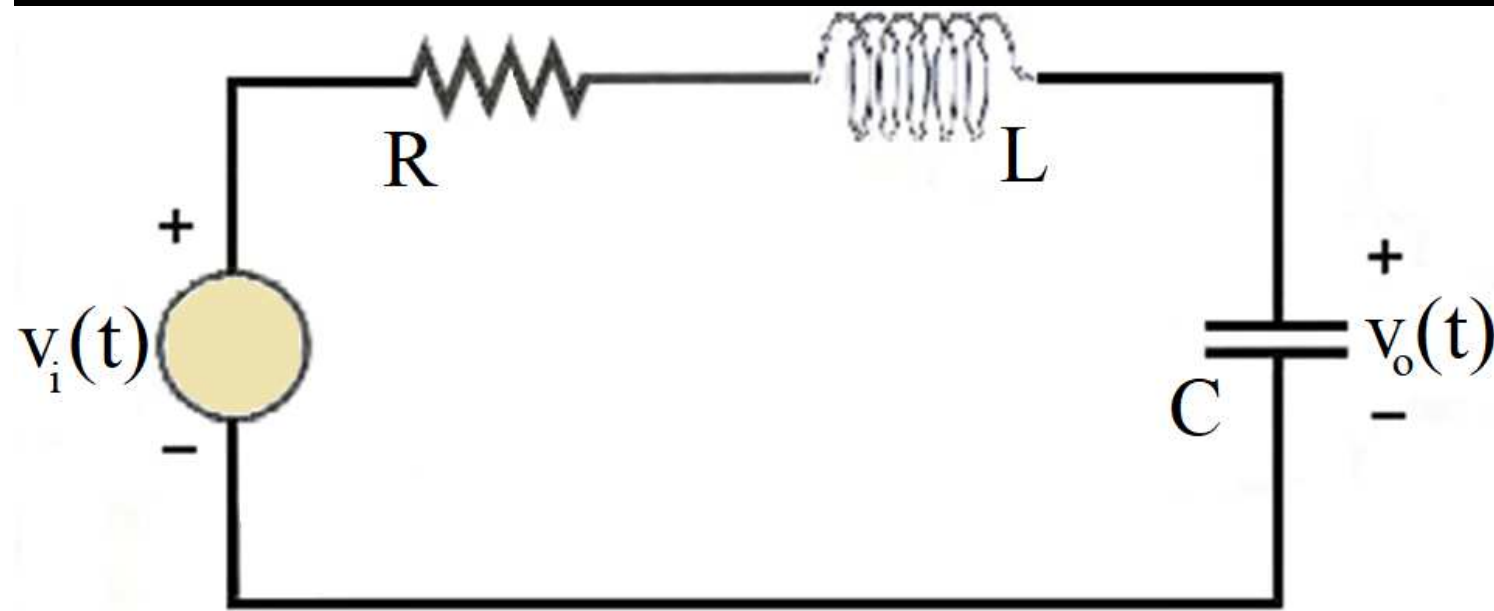


tensão na entrada



Lei de Kirchhoff para malhas:

$$\sum V_k = 0$$



Gustav Kirchhoff,
1824-1887

logo

$$v_i - LC v_o'' - RC v_o' - v_o = 0,$$

circuito RLC série

e portanto,

$$LC v_o'' + RC v_o' + v_o = v_i ,$$

ou

$$LC \frac{d^2 v_o}{dt^2} + RC \frac{dv_o}{dt} + v_o = v_i ,$$

Logo, este *sistema* também é descrito por uma *equação diferencial* de 2^a ordem, como no exemplo anterior.

circuito RLC série

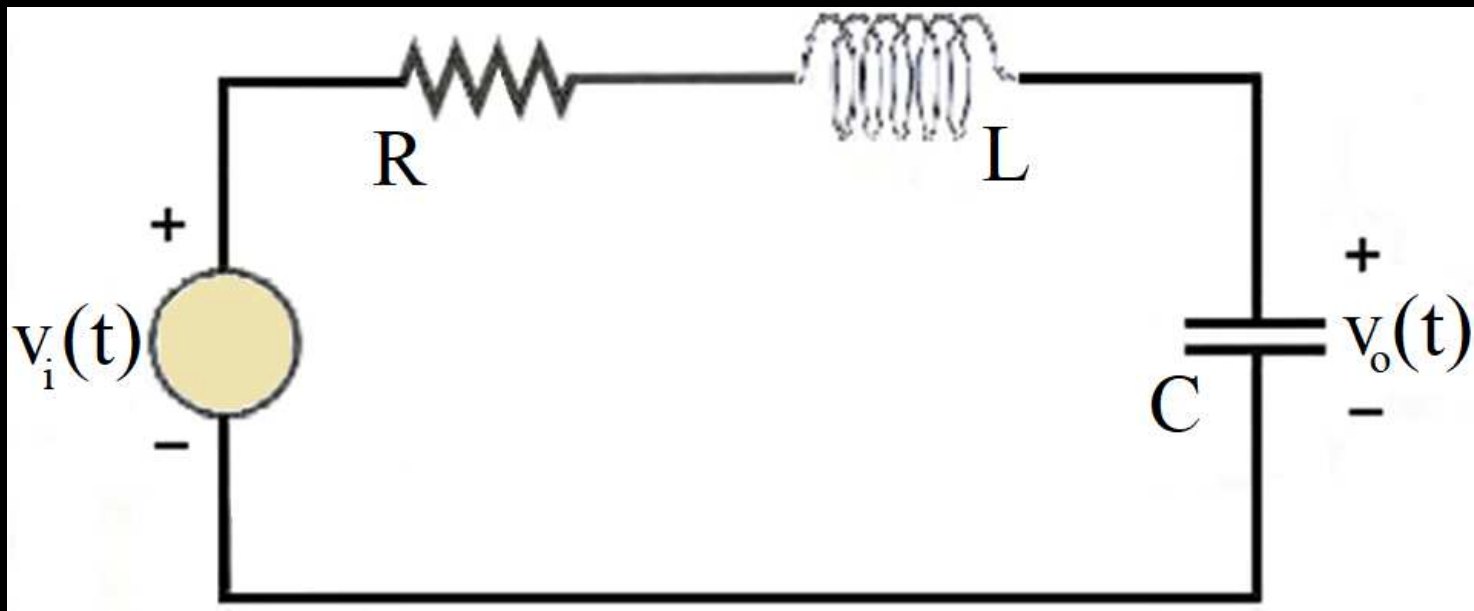
Ou seja, o modelo deste sistema é uma *equação diferencial* de 2^a ordem:

$$\begin{aligned} LC \frac{d^2 v_o}{dt^2} + RC \frac{dv_o}{dt} + v_o &= \\ &= RC v_o'' + LC v_o' + v_o = v_i \end{aligned}$$

condições iniciais:

$$v_o'(0) = a, \quad v_o(0) = b$$

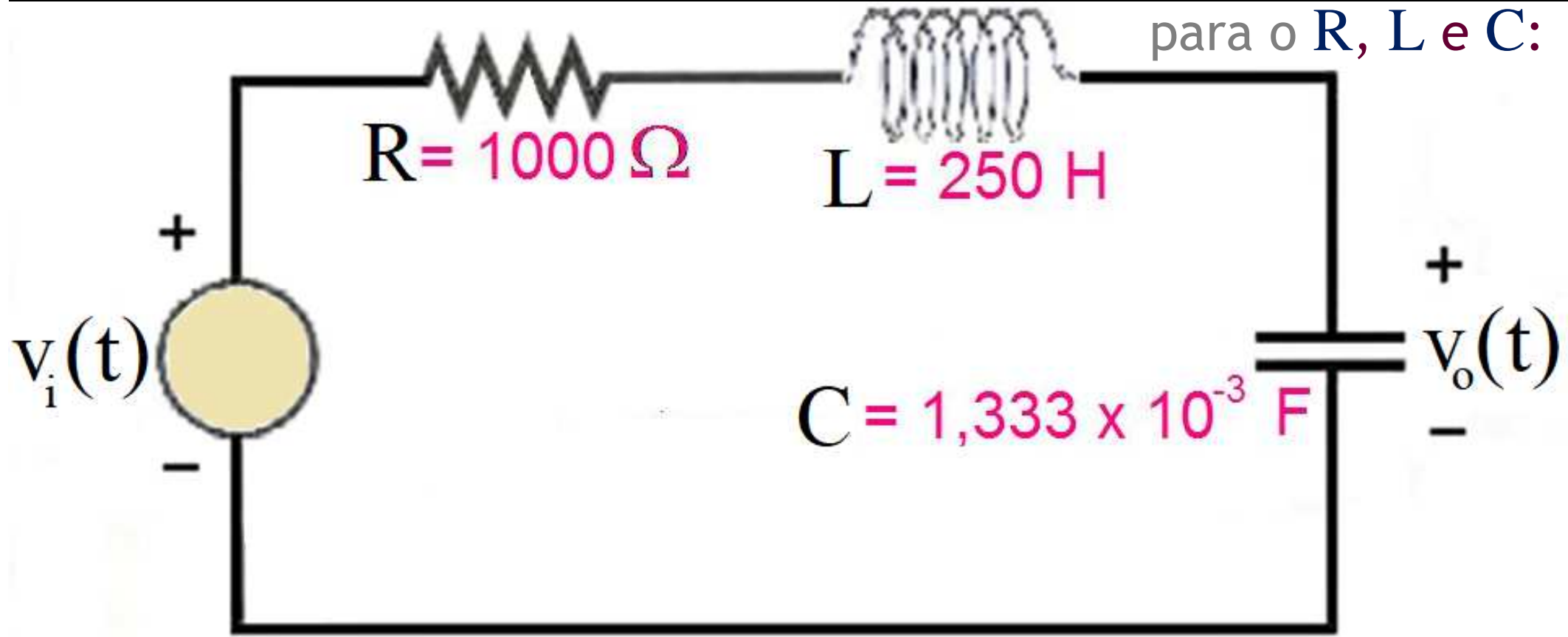
círculo RLC série



$$\left\{ \begin{array}{l} LC \frac{d^2 v_o}{dt^2} + RC \frac{dv_o}{dt} + v_o = \boxed{LCv_o'' + RCv_o' + v_o = v_i} \\ v_o'(0) = a, \quad v_o(0) = b \end{array} \right.$$

circuito RLC série

Dando valores
para o R , L e C :

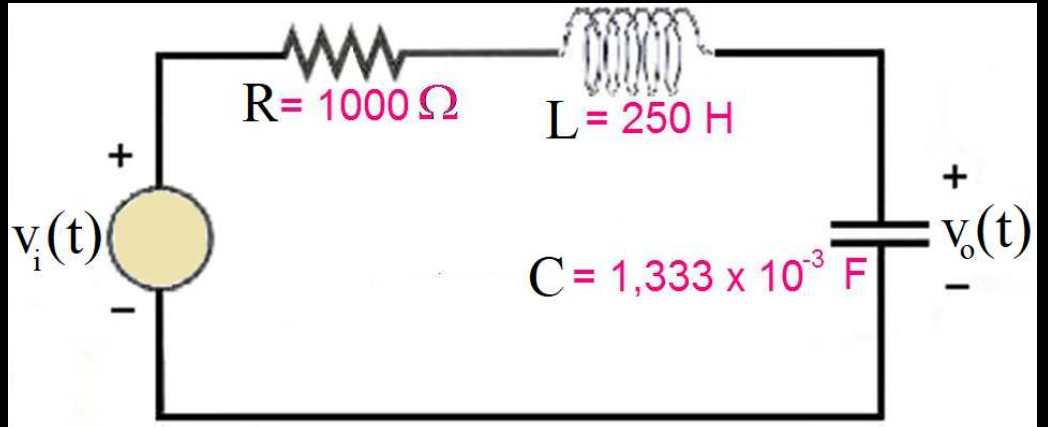


$$R = 1000 \Omega$$

$$L = 250 \text{ H}$$

$$C = 1,333 \times 10^{-3} \text{ F}$$

Modelização de Sistemas



círculo RLC série

$$\left\{ \begin{array}{l} LC \frac{d^2v_o}{dt^2} + RC \frac{dv_o}{dt} + v_o = \boxed{LCv_o'' + RCv_o' + v_o = v_i}, \\ v_o'(0) = a, \quad v_o(0) = b \end{array} \right.$$

$$R = 1000 \Omega$$

$$L = 250 \text{ H}$$

$$C = 1,333 \times 10^{-3} \text{ F}$$

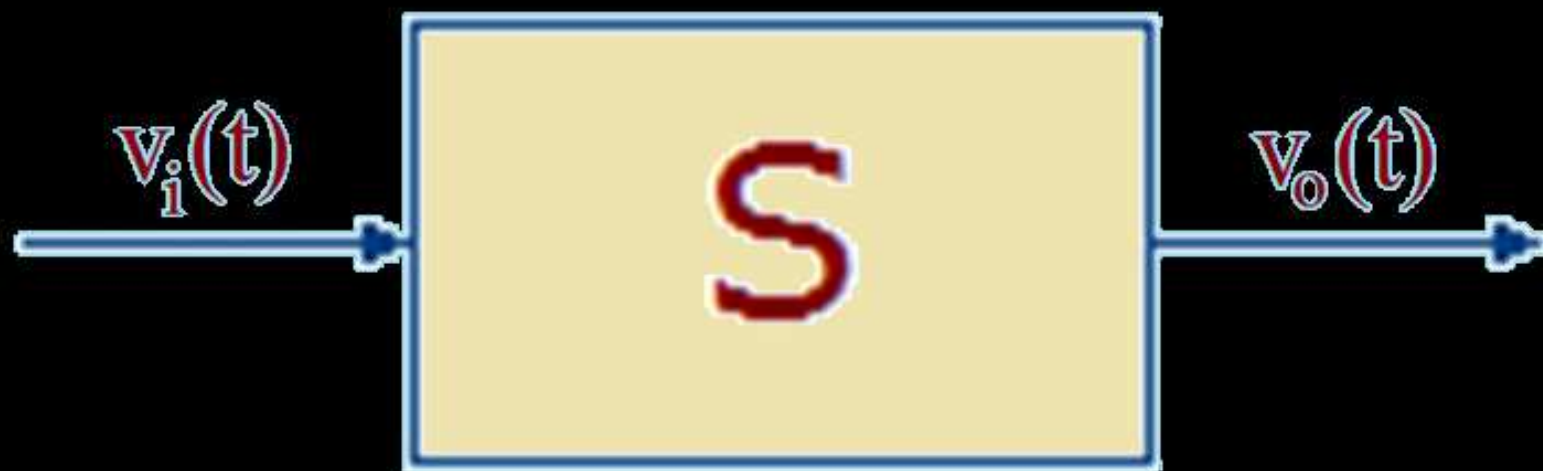
circuito RLC série

$$\left\{ \begin{array}{l} LC \frac{d^2v_o}{dt^2} + RC \frac{dv_o}{dt} + v_o = LCv_o'' + RCv_o' + v_o = v_i, \\ v_o'(0) = a, \quad v_o(0) = b \end{array} \right.$$

$$R = 1000 \Omega$$

$$L = 250 \text{ H}$$

$$C = 1,333 \times 10^{-3} \text{ F}$$



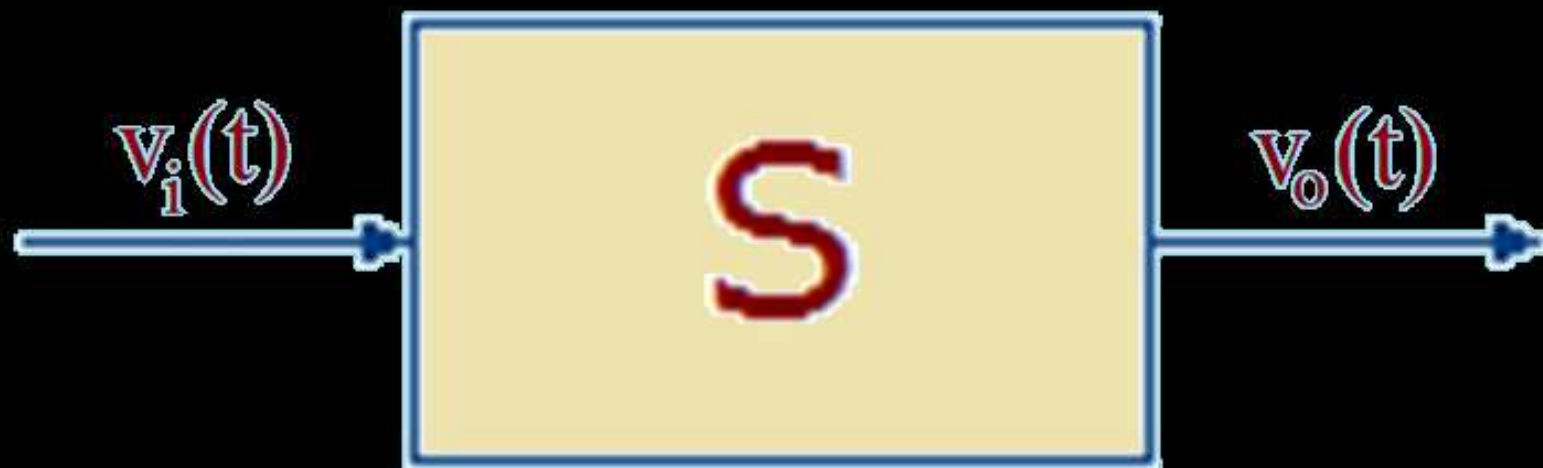
circuito RLC série

$$\left\{ \begin{array}{l} \frac{d^2v_o}{dt^2} + 4\frac{dv_o}{dt} + 3v_o = v''_o + 4v'_o + 3v_o = 3v_i, \\ v'_o(0) = a, \quad v_o(0) = b \end{array} \right.$$

$$R = 1000 \Omega$$

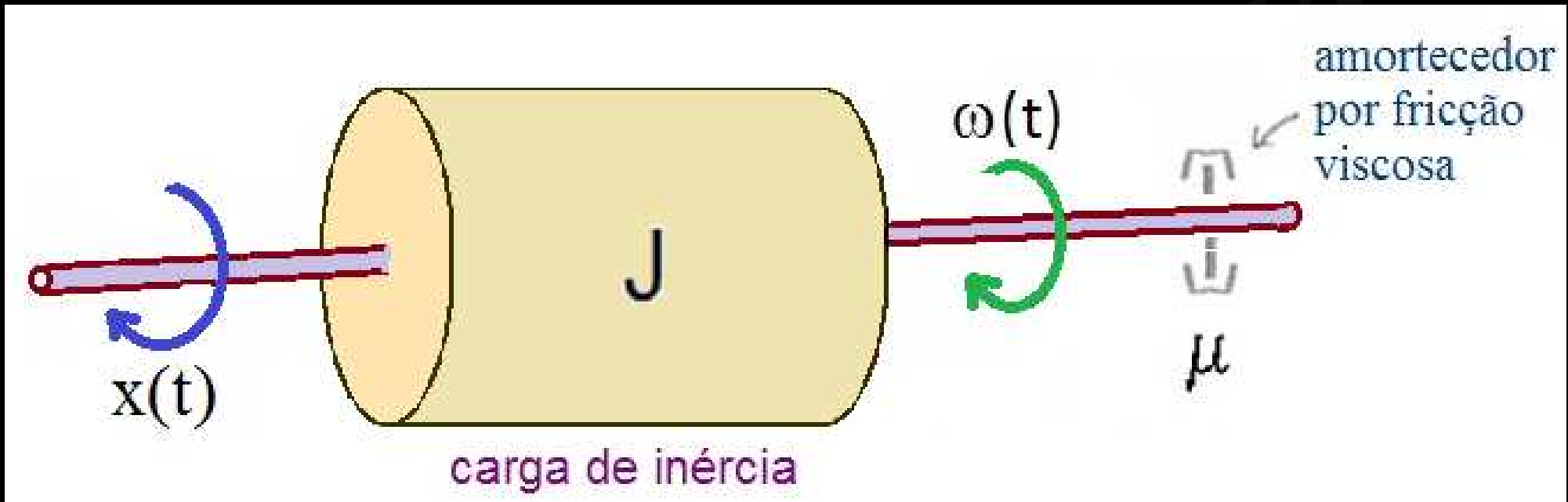
$$L = 250 \text{ H}$$

$$C = 1,333 \times 10^{-3} \text{ F}$$



movimento rotacional mecânico

movimento rotacional mecânico



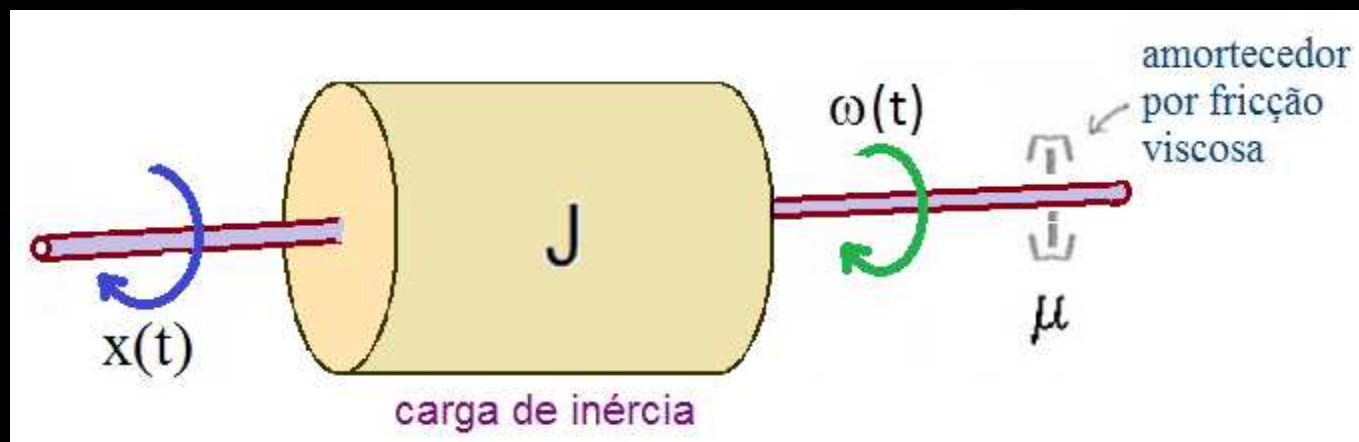
$x(t)$ = momento aplicado ao sistema entrada/input [$N \cdot m$];

$\omega(t)$ = velocidade angular saída/output [rad/s];

J = momento de inércia [$kg \cdot m^2$];

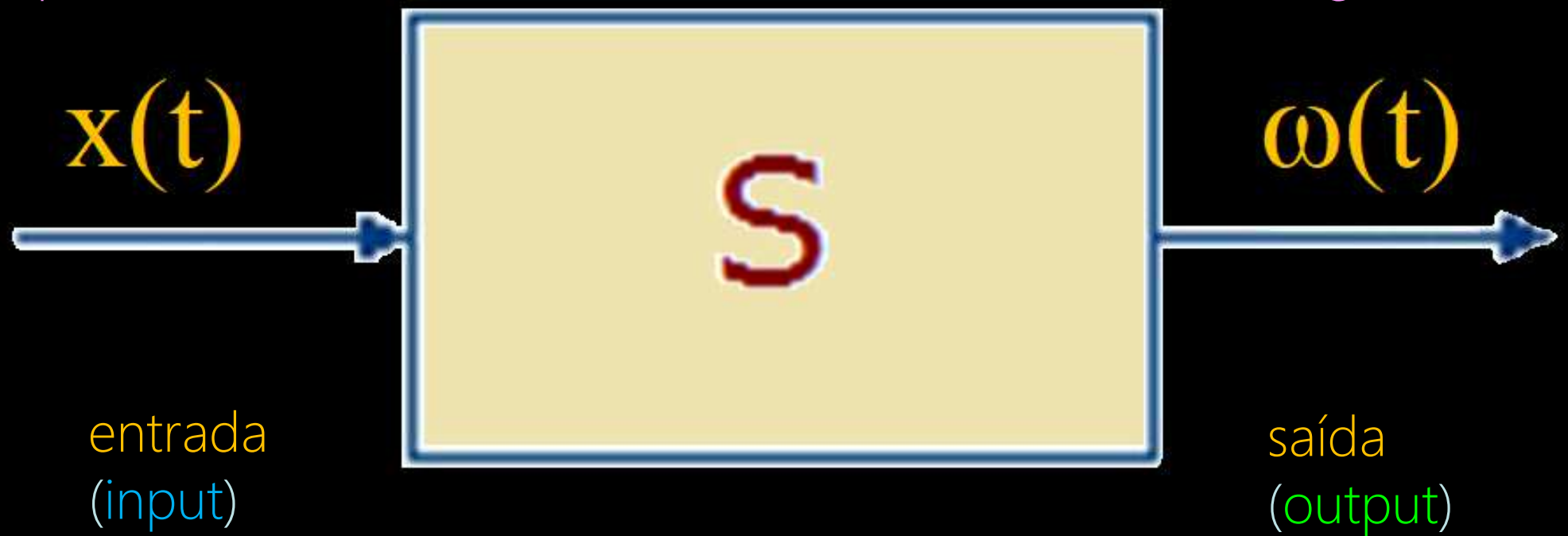
μ = coeficiente de fricção viscosa [$N \cdot m / rad/s$]

movimento rotacional mecânico



momento (ou *torque*)
aplicado

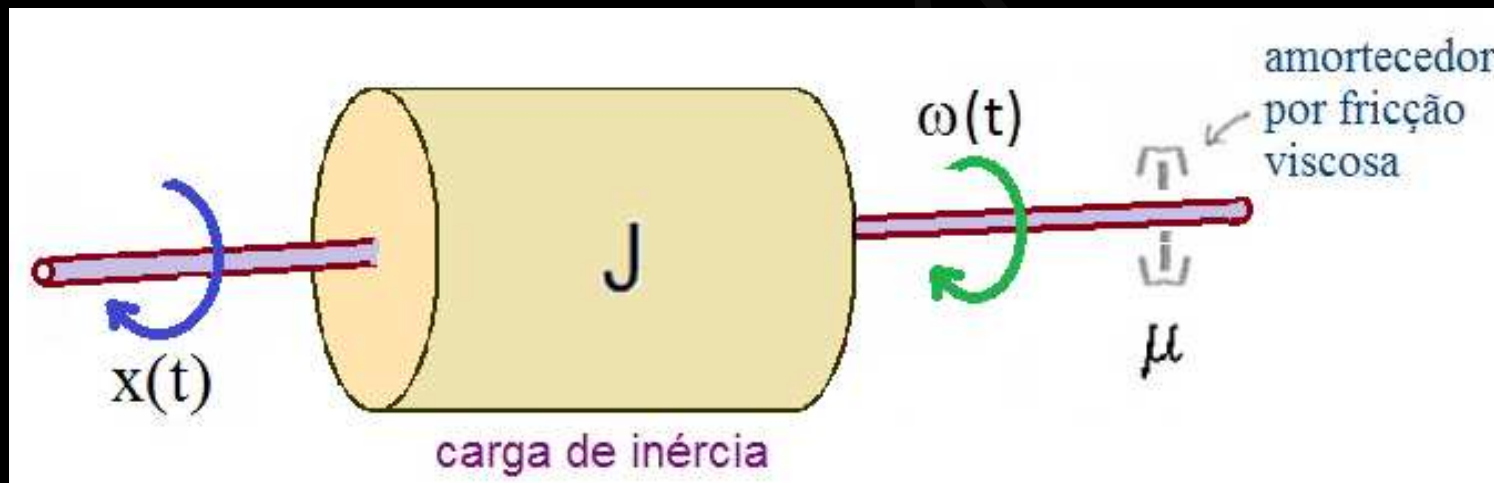
velocidade
angular



movimento rotacional mecânico

Usando a Lei de Newton para sistemas rotacionais

$$\sum \text{momentos} = J \omega' ,$$



tem-se que

$$J \omega' + \mu \omega = x ,$$

movimento rotacional mecânico

Logo, este sistema é descrito por uma *equação diferencial* (de 1^a ordem):

$$J \frac{d\omega}{dt} + \mu \omega = J\omega' + \mu\omega = x$$

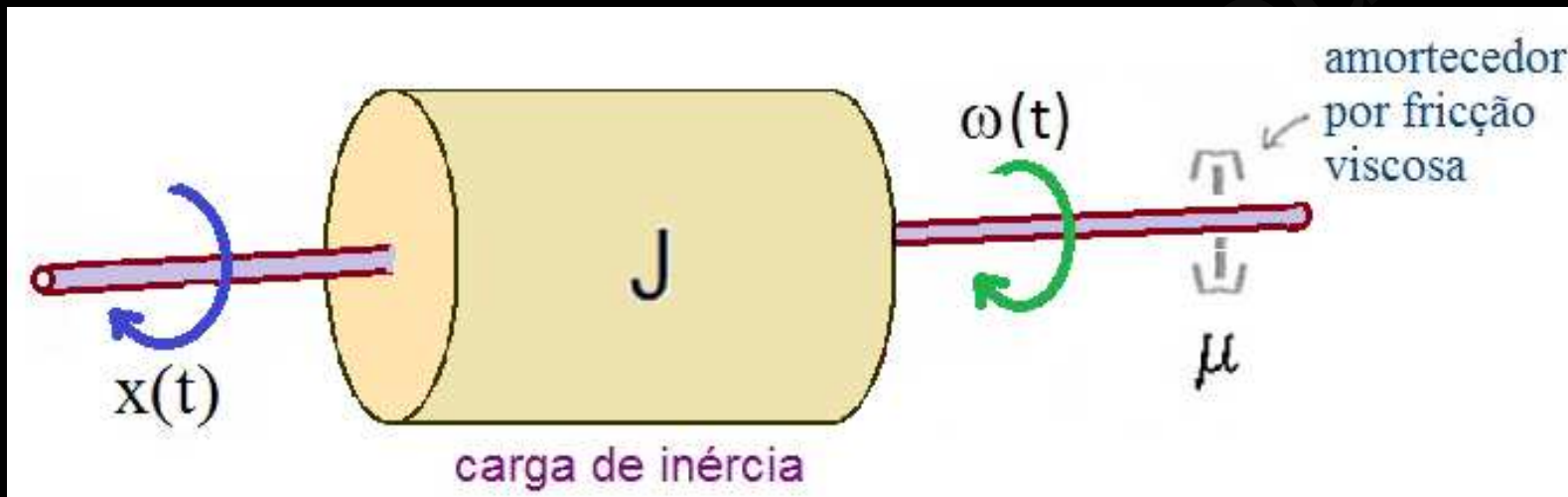
condição inicial:

$$\omega(0) = a$$

movimento rotacional mecânico

Ou seja,

o modelo deste sistema é uma *equação diferencial* de 1^a ordem:



$$\left\{ \begin{array}{l} J \frac{d\omega}{dt} + \mu\omega = J\omega' + \mu\omega = x, \\ \omega(0) = a \end{array} \right.$$

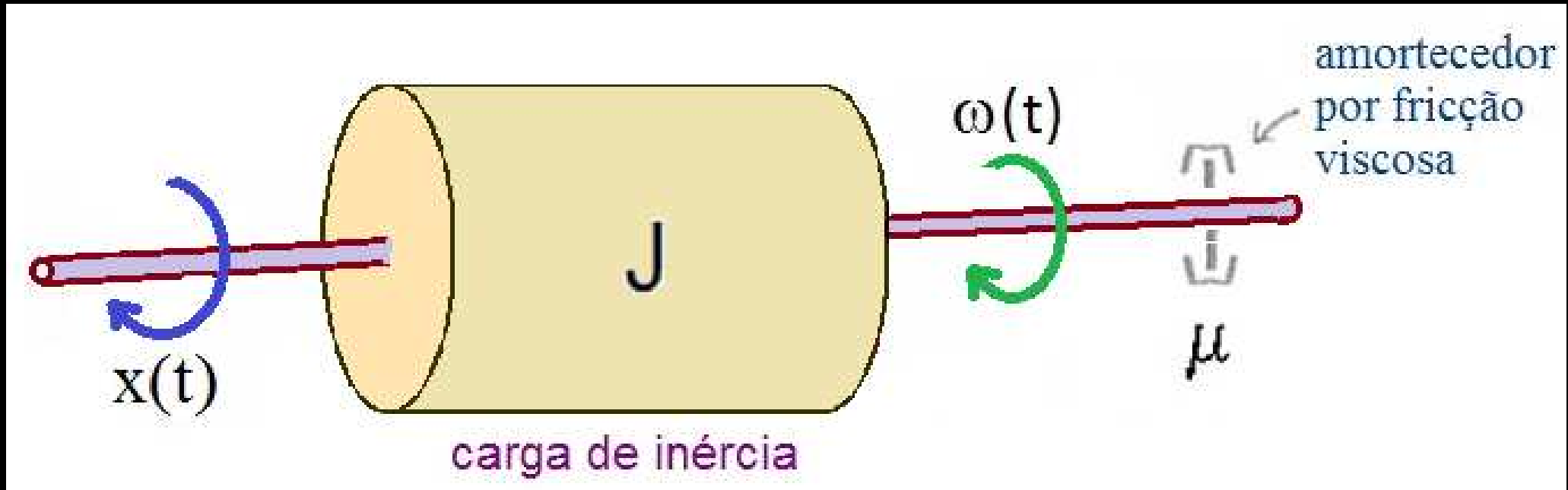
Modelização de Sistemas

movimento rotacional mecânico

Agora, dando valores para o J e μ :

$$J = 0,5 \text{ kg/m}^2$$

$$\mu = 2 \text{ N}\cdot\text{m}/\text{rad/s}$$



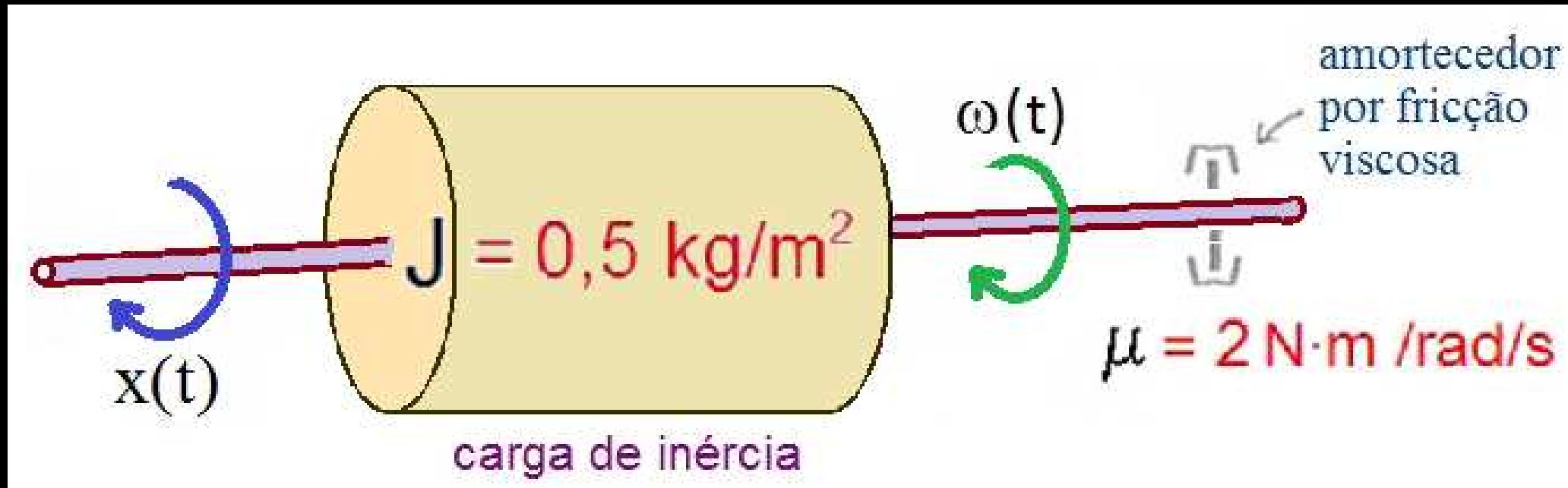
$$\left\{ \begin{array}{l} J \frac{d\omega}{dt} + \mu\omega = J\omega' + \mu\omega = x \\ \omega(0) = a \end{array} \right.$$

movimento rotacional mecânico

Agora, dando valores para o J e μ :

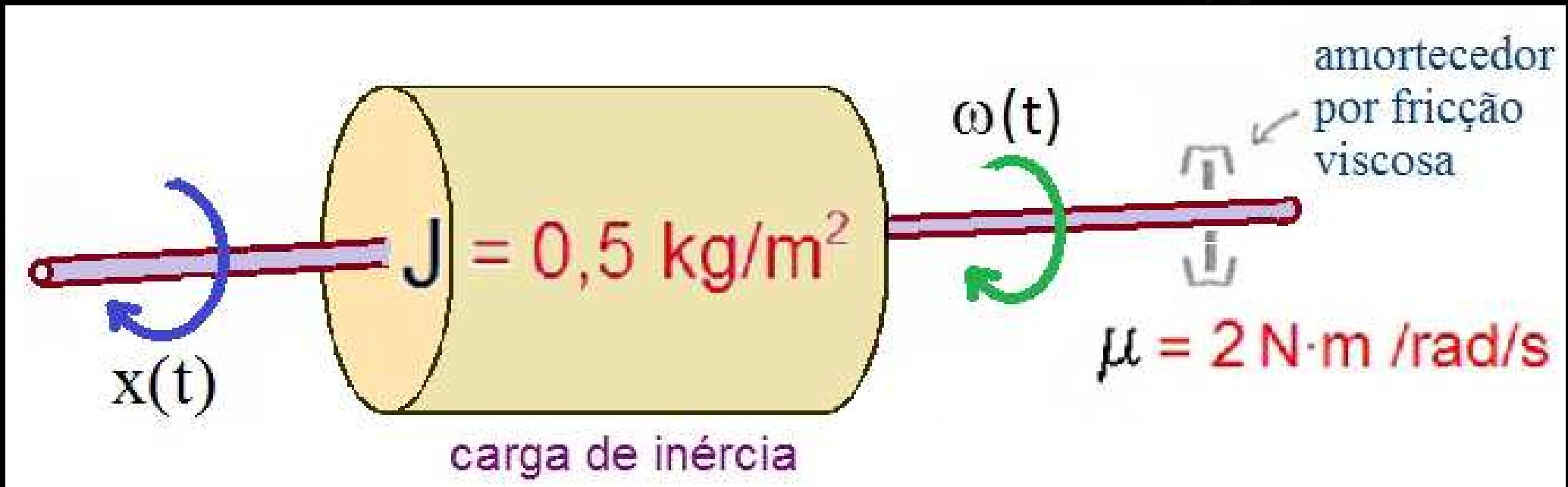
$$J = 0,5 \text{ kg/m}^2$$

$$\mu = 2 \text{ N}\cdot\text{m /rad/s}$$



$$\left\{ \begin{array}{l} J \frac{d\omega}{dt} + \mu\omega = J\omega' + \mu\omega = x, \\ \omega(0) = a \end{array} \right.$$

movimento rotacional mecânico

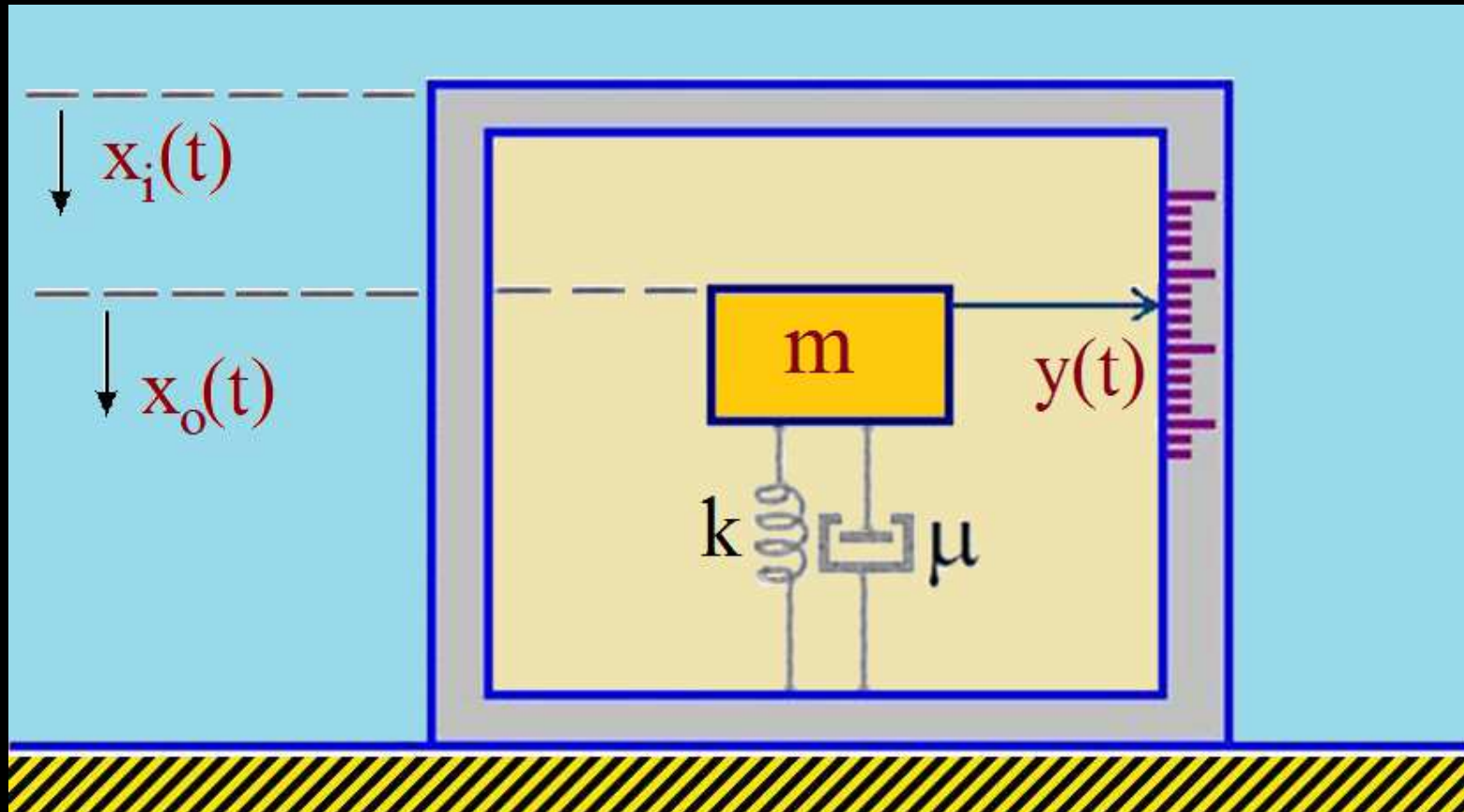


$$\left\{ \begin{array}{l} \frac{d\omega}{dt} + 4\omega = \omega' + 4\omega = 2x, \\ \omega(0) = a \end{array} \right.$$

um sismógrafo

Prof. Felipe de Souza

sismógrafo



$x_i(t)$ = deslocamento da *caixa* em relação ao *espaço inercial*;

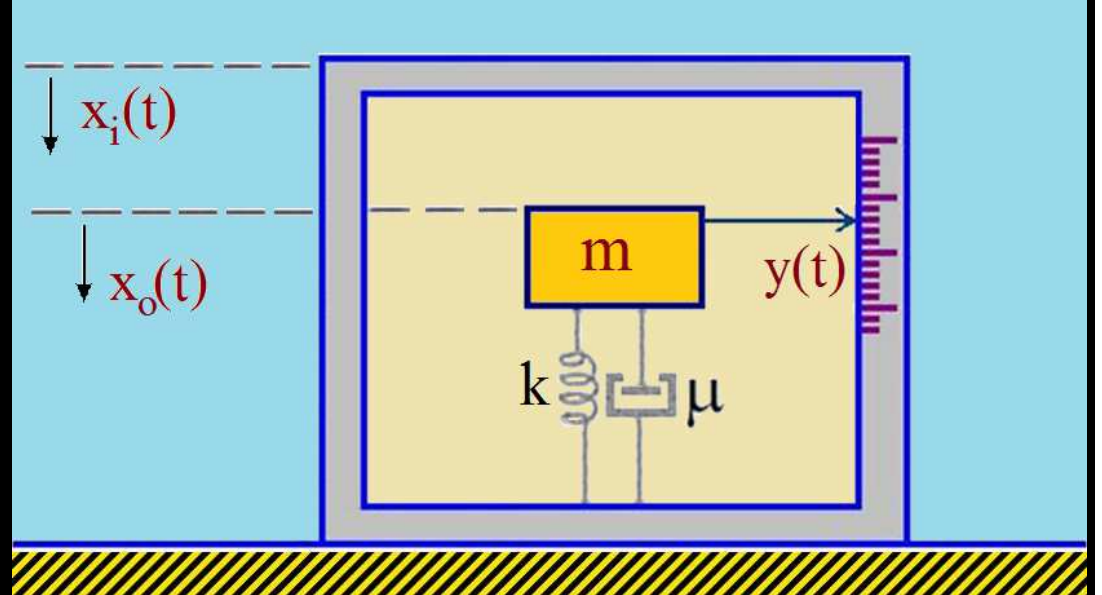
$x_o(t)$ = deslocamento da *massa m* em relação ao *espaço inercial*;

$y(t)$ = deslocamento da *massa m* em relação à *caixa*.

$$y(t) = [x_o(t) - x_i(t)]$$

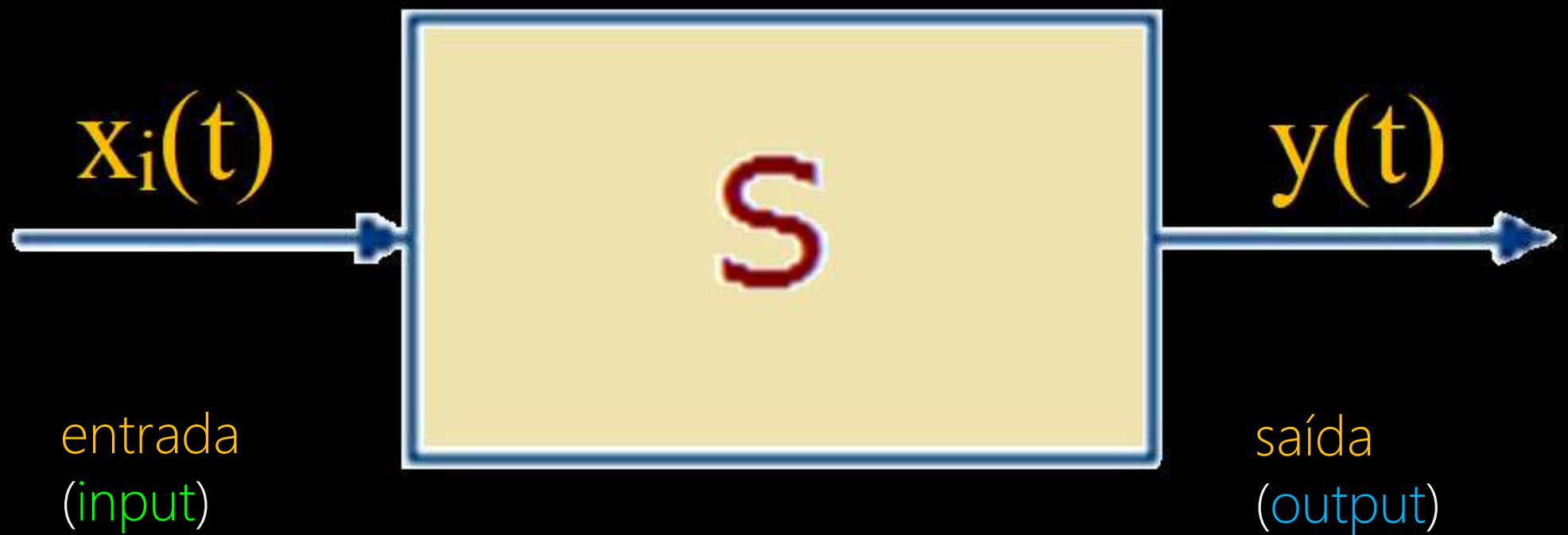
Modelização de Sistemas

sismógrafo



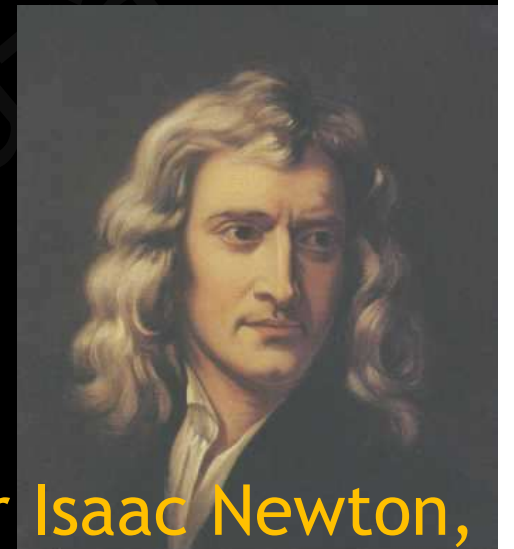
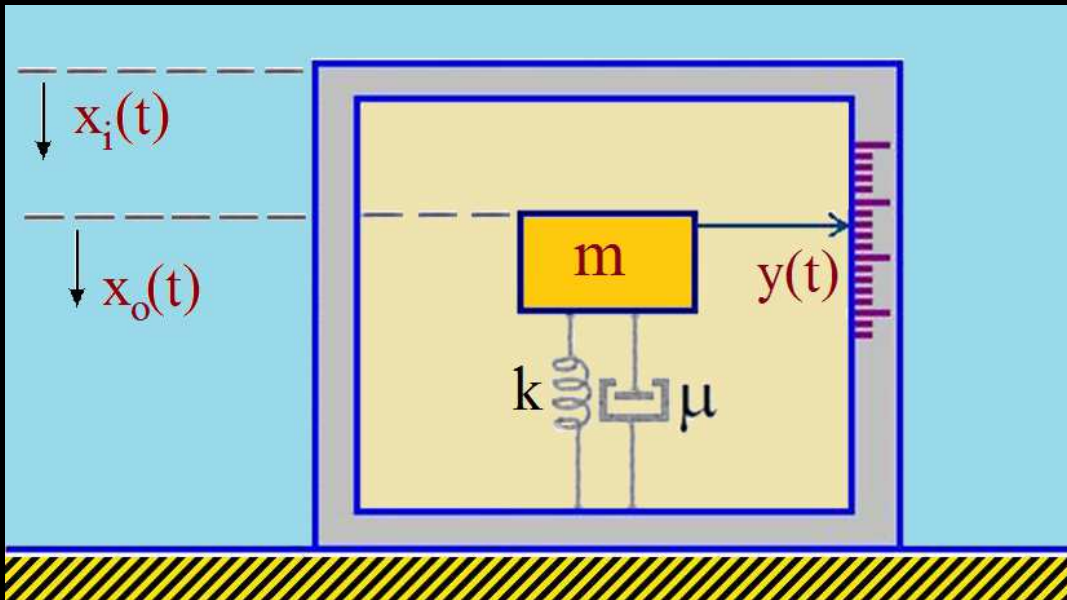
deslocamento
da caixa

deslocamento
da massa m



Modelização de Sistemas

Novamente, pela 2^a Lei de Newton



Sir Isaac Newton,
1643-1727

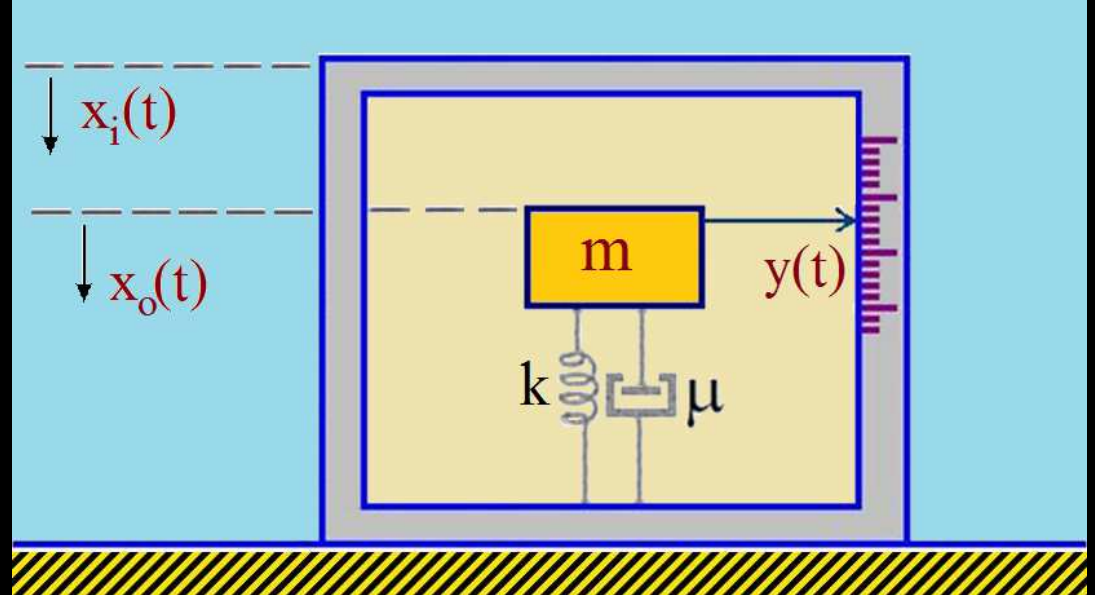
$$m x_o'' = -\mu (x_o' - x_i') - k(x_o - x_i),$$

e portanto,

$$\underbrace{m(x_o'' - x_i'')}_{y''(t)} + \underbrace{\mu (x_o' - x_i')}_{y'(t)} + \underbrace{k(x_o - x_i)}_{y(t)} = -m x_i'',$$

Modelização de Sistemas

sismógrafo



logo,

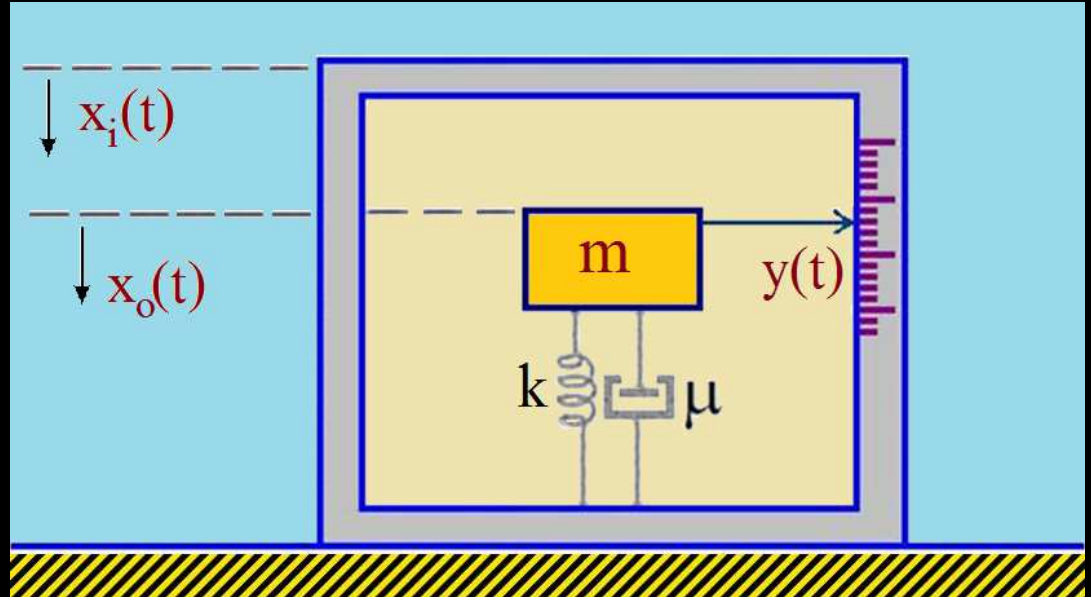
$$m \ y'' + \mu \ y' + k \ y = -m \ x_i'',$$

ou,

$$m \frac{d^2y}{dt^2} + \mu \frac{dy}{dt} + k \ y = -m \frac{d^2x_i}{dt^2},$$

Modelização de Sistemas

sismógrafo



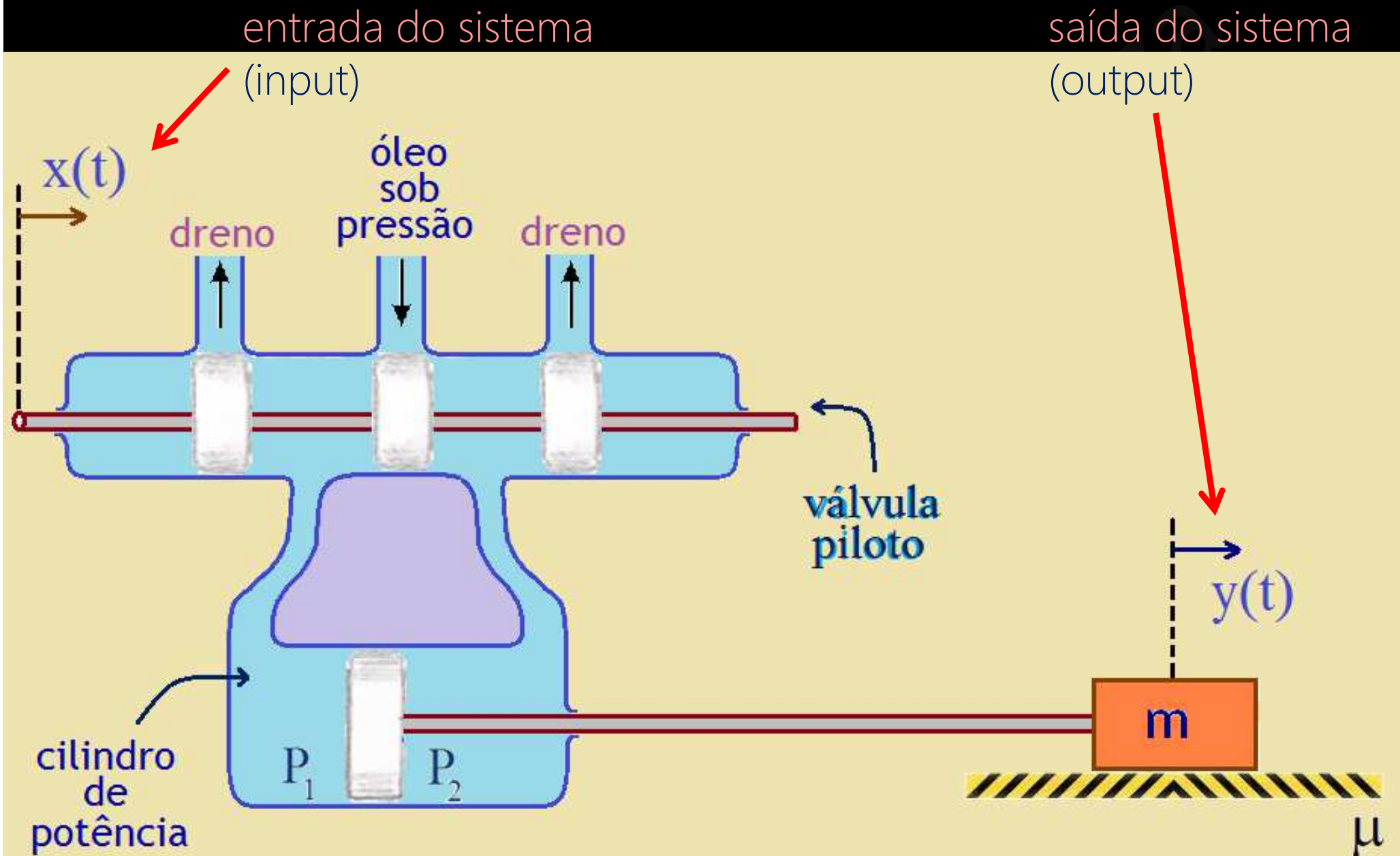
$$\left\{ \begin{array}{l} m \frac{d^2y}{dt^2} + \mu \frac{dy}{dt} + ky = \\ = m y'' + \mu y' + k y = -m x_i'' . \\ y(0) = a, \quad y'(0) = b \end{array} \right.$$

um servomotor hidráulico

Prof. Felipe de Souza

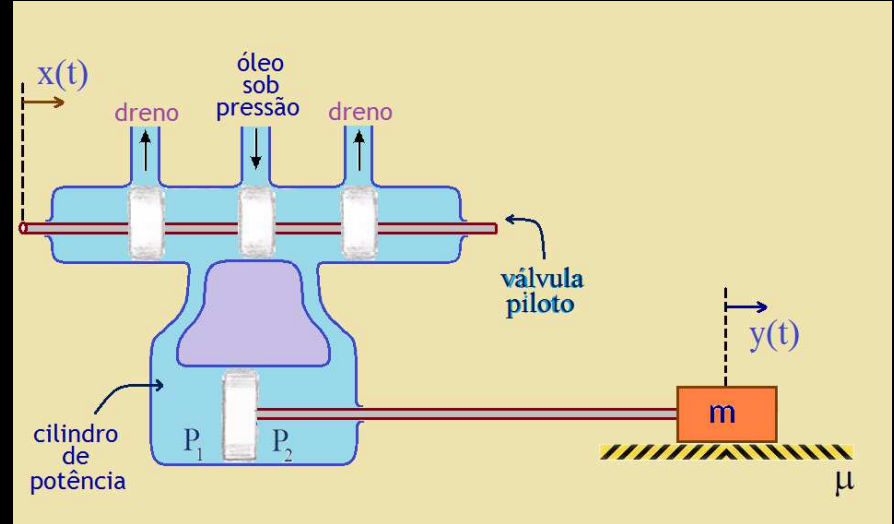
Modelização de Sistemas

servomotor hidráulico



servomotor hidráulico

obtém-se,



$$m \ddot{y}(t) + \left(\mu + \frac{A^2 \rho}{K_2} \right) \dot{y}(t) = \frac{AK_1}{K_2} x(t),$$

ou,

$$m \frac{d^2y}{dt^2} + \left(\mu + \frac{A^2 \rho}{K_2} \right) \frac{dy}{dt} = \frac{AK_1}{K_2} x(t),$$

servomotor hidráulico

$$m \cdot y''(t) + \left(\mu + \frac{A^2 \rho}{K_2} \right) y'(t) = \frac{A K_1}{K_2} x(t),$$

A = área do pistão [m²];

ρ = densidade do óleo [kg/m³];

Q = taxa do caudal do óleo que vai para o cilindro de potência (*taxa de fluxo de massa*)[kg/s];

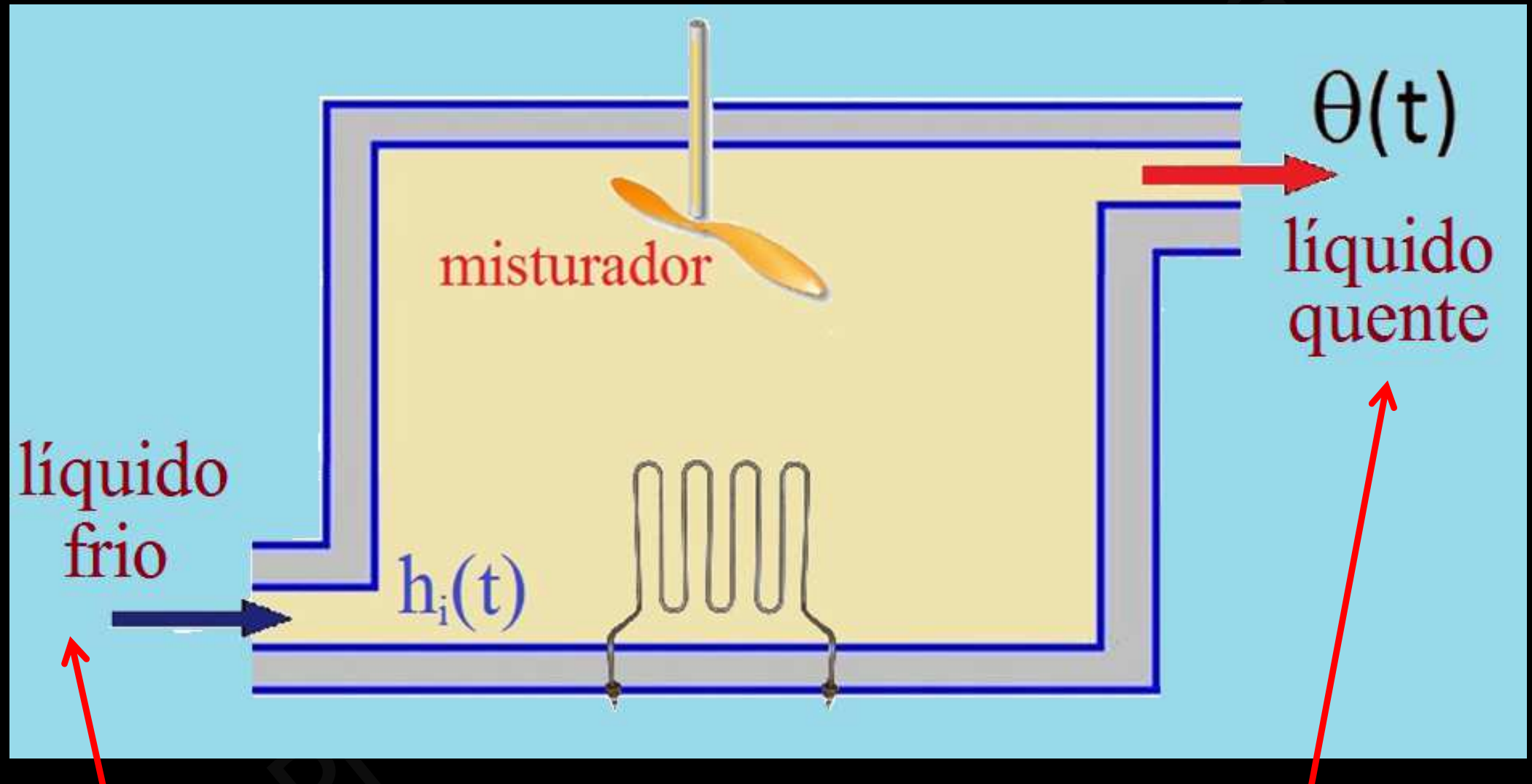
ΔP = (P₁ - P₂) = diferença de pressão no cilindro de potência (*queda na pressão do óleo*)[N/m²].

$$Q = K_1 \cdot x - K_2 \cdot \Delta P$$

um sistema térmico

Prof. Felippe de Souza

sistema térmico



entrada do sistema
(input)

saída do sistema
(output)

Modelização de Sistemas

sistema térmico

obtém-se,

$$RC \frac{d\theta}{dt} + \theta(t) = R h_i(t),$$

onde,

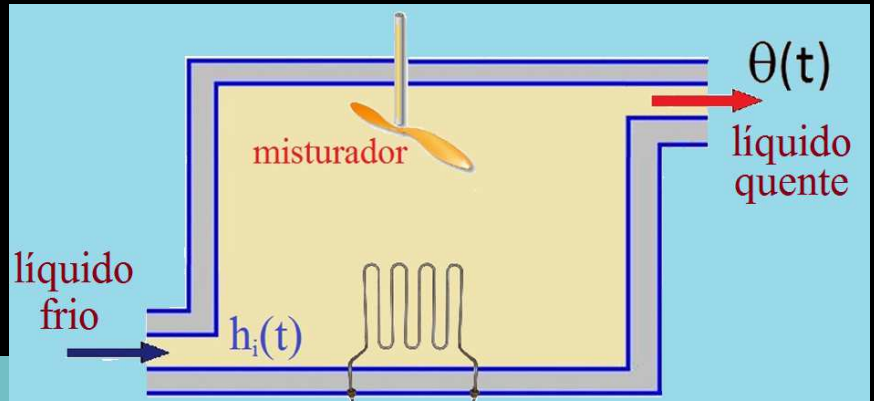
$h_i(t)$ = taxa de entrada de calor [cal/s];

$\theta(t)$ = temperatura do líquido que sai [°C];

R = resistência térmica (*ganho do sistema*) [°C·s/cal];

C = capacidade térmica [cal/°C];

$T = RC$ = constante de tempo do sistema [s].



Estes exemplos acima são simples, mas servem para ilustrar que muitos sistemas físicos podem ser modelizados na forma de equações diferenciais ordinárias.

Portanto, muitas das equações diferenciais que já vimos em exemplos no capítulo anterior podem ser a modelização de um sistema físico original.

outros exemplos

Prof. Felippe de Souza

Um sistema descrito por equações diferenciais parciais:

$$\frac{\partial^2 u}{\partial t^2} = k \left(\frac{\partial^2 u}{\partial x^2} + \frac{\partial^2 u}{\partial y^2} + \frac{\partial^2 u}{\partial z^2} \right) = \\ = k (u_{xx} + u_{yy} + u_{zz})$$

sistema linear
contínuo,
invariante no tempo,
com memória e
causal

este sistema
descreve a
propagação de
uma onda no
espaço

ou, um sistema descrito por equações de diferenças:

$$y[n] = 2(x[n])^2 - 4n x[n]$$

Sistema discreto,
não linear,
variante no tempo,
sem memória
e causal.

Sistemas mais complexos são representados não apenas por uma, mas por várias equações.

$$\begin{cases} \dot{x}_1 = \frac{s\theta}{\theta + x_4} + \lambda(x_1, x_2, x_3)x_1 - x_1[\mu_1 + k_1(m_1)x_4] \\ \dot{x}_2 = \omega k_1(m_1) \cdot x_4 x_1 - x_2[\mu_2 + k_{20}] \\ \dot{x}_3 = (1 - \omega)k_1(m_1)x_4 x_1 + k_{20}x_2 - \mu_3 x_3 \\ \dot{x}_4 = N(t)\mu_3 x_3 - x_4[k_1(m_1) \cdot x_1 + \mu_v] \end{cases}$$

este sistema acima descreve a dinâmica da evolução da SIDA (AIDS)



Departamento de
Engenharia Eletromecânica

Obrigado!

Felippe de Souza
felippe@ubi.pt